

## ارزیابی عملکرد سیستم و زیر سیستم‌های تهویه قطارهای مترو تهران به کمک مدل تحلیل پوششی داده‌های ارتباطی فازی سه مرحله‌ای

سید علی رضا میر محمد صادقی<sup>\*</sup>، مهدی مغان<sup>\*\*</sup>، مهدی کشاورز<sup>\*\*\*</sup>، مهرنوش کشاورز<sup>\*\*\*\*</sup>،

فاطمه خواجه نوری<sup>\*\*\*\*\*</sup>

تاریخ دریافت: ۹۴/۶/۷

تاریخ پذیرش: ۹۵/۱/۱۹

### چکیده

توسعه شبکه مترو، گستردگی روز افزون و پیچیدگی‌های ذاتی مدیریت آن، ضرورت نگاه علمی و استفاده از تجربیات و دانش روز دنیا در خصوص نگهداری و تعمیرات را اجتناب ناپذیر ساخته است. بخش عمده ای از تجهیزات شبکه مترو و قطارهای آن را تجهیزات تعمیرپذیر تشکیل می‌دهند که درصد قابل توجهی از منابع مالی و انسانی سازمان را به خود معطوف می‌سازند.

هدف این مقاله، اندازه گیری کارائی و رتبه‌بندی سیستم تهویه مطبوع قطارهای دی‌سی مترو تهران و زیر سیستم‌های آن به کمک مدل تحلیل پوششی داده‌های ارتباطی سه مرحله‌ای می‌باشد. در خصوص اهمیت سیستم تهویه در مترو همین بس که در حدود ۸ ماه از سال، سیستم تهویه پس از ترکشدن‌ها که نیروی محركه جهت جایه جایی قطار را فراهم می‌آورد، بیشترین اهمیت را از منظر مدیریت بهره برداری دارا می‌باشد. در این پژوهش با تعریف سیستم تهویه به عنوان واحدهای تصمیم‌گیری، از آن جهت ارزیابی عملکرد سیستم و در نهایت کمک به تصمیم‌سازی راهبردی نگهداری و تعمیرات اعم از داشتن تخمینی از ظرفیت کارگاه نگهداری و تعمیرات، تایین قطعات یدکی و نیروی انسانی مورد نیاز استفاده می‌شود. شایان ذکر است به علت وجود خطاهای گوناگونی از جمله خطای انسانی، خطای دستگاهها، محدودیت‌های مربوط به تحلیل داده‌های میدانی و غیره، در این مقاله از رویکرد فازی جهت چالش با عدم قطعیت در داده‌ها استفاده شده است. در ضمن از آنالیز قابلیت اطمینان، قابلیت دسترسی و نگهداشت پذیری که از مهمترین شاخص‌های حوزه نگهداری و تعمیرات هستند، جهت تعیین ورودی‌ها و خروجی‌های سیستم تهویه استفاده شده است.

**واژه‌های کلیدی:** تحلیل پوششی داده‌های ارتباطی فازی سه مرحله‌ای، قابلیت اطمینان، دسترسی پذیری، نگهداشت پذیری، سیستم تهویه

\* استادیار مرکز تحقیقات مهندسی سیستم‌ها، دانشگاه جامع امام حسین، تهران

\*\* پژوهشگر مرکز تحقیقات مهندسی سیستم‌ها، دانشگاه جامع امام حسین، تهران (نویسنده مسئول)

moghan@ihu.ac.ir

\*\*\* دانشجوی دکترا مهندسی صنایع، دانشکده صنایع، دانشگاه تهران، تهران

\*\*\*\* کارشناس ارشد مدیریت صنعتی، دانشکده مدیریت و حسابداری، دانشگاه علامه طباطبایی تهران

\*\*\*\*\* کارشناس ارشد شرکت واگن سازی تهران

#### مقدمه

روند رشد شتابان کلان شهرها در جهان توأم با افزایش جمعیت در این شهرها، مشکلات متعددی از جمله معضل ترافیک و اختلال درون شهری را بوجود آورده است. این معضل بدلیل تاثیرگذاری آن بر تمامی عناصر سیستم شهر، یکی از چالش‌ها و دغدغه‌های اساسی فرا روی برنامه ریزی و مدیریت شهری در عصر حاضر می‌باشد. به طوری که در دهه‌های اخیر گسترش حمل و نقل عمومی شهری به عنوان یکی از شاخص‌های مهم توسعه پایدار و راهکار مناسبی برای حفظ منابع محیط زیست و کاهش معضلات ترافیکی شهرها مورد توجه و در دستور کار دولت‌ها قرار گرفته است. در میان وسیله‌های حمل و نقل عمومی، سیستم‌های حمل و نقل سریع به دلیل استفاده تعداد زیادی از مسافران سرتاسر دنیا از آنها، مورد توجه زیادی قرار گرفته اند. این سیستم‌ها یک روش حمل و نقل ایمن و سریع برای رفت و آمد روزانه مسافران فراهم می‌کند (مرزوک<sup>۱</sup> و عبدالاتی<sup>۲</sup>، ۲۰۱۴). در میان سیستم‌های حمل و نقل سریع، سیستم‌های مترو به دلیل داشتن مزیت‌های خاصی از جمله صرفه جویی در زمان و هزینه، نبود ترافیک و عدم تاثیر از شرایط آب و هوایی مورد استقبال بسیاری از مردم قرار گرفته اند (قطبی<sup>۳</sup> و همکاران، ۲۰۱۲). به نحوی که تقاضای روزافرونه برای سفر بین شهری و رقابت بین تمام وجوه حمل و نقل یک حقیقت اجتناب ناپذیر است که سیستم حمل و نقل مترو شهری امروز با آن مواجه است. برای رو به رو شدن با این چالش، سازمان‌های مترو شهری باید جهت استفاده و بهره برداری بهتر از منابع و طرح‌ها تلاش کنند (حسن نایی<sup>۴</sup> و همکاران، ۲۰۱۴).

بخش عمده‌ای از تجهیزات شبکه مترو و قطارهای آن را تجهیزات تعمیر پذیر تشکیل می‌دهند که در صد قابل توجهی از منابع مالی و انسانی سازمان را به خود معطوف می‌سازد، چالش مهم هر سازمان تولیدی و خدماتی با هر راهبردی که در پیش می‌گیرند، ارزیابی و

<sup>۱</sup> Marzouk

<sup>۲</sup> Abdelaty

<sup>۳</sup> Ghotbi

<sup>۴</sup> Hassannayebi

پایش مستمر و ضعیت تجهیزات می‌باشد. به سبب وجود محدودیت‌های دائمی در زمینه منابع مالی و انسانی و نیز وجود مختلف عملکرد یک تجهیز، تشخیص و تحلیل کلیدی ترین پارامترهای اثر گذار بر عملکرد تجهیز، موضوعی بسیار تعیین کننده است. سیستم‌ها و تجهیزات به سبب بروز اختلالات مختلف همچون طبیعت سیستم، تعداد خرابی‌ها و زمان لازم جهت تشخیص خرابی در معرض آسیب‌اند. این خرابی‌ها نه تنها به زمان از کارافتادگی سیستم می‌افراید، بلکه هزینه‌های عملیاتی اضافی و هزینه‌های نگهداری و تعمیرات گرافی را به سیستم تحمیل می‌کند. ارزیابی و پیش‌بینی مناسب از نحوه عملکرد سیستم و میزان در دسترس بودن تجهیز، دارای ارزش راهبردی برای مدیریت است (مادو<sup>۱</sup>، ۲۰۰۵).

تجهیزی که در این تحقیق مورد بررسی قرار گرفته است سیستم تهويه مطبوع قطارهای DC مترو تهران است، در خصوص اهمیت سیستم تهويه در مترو همین بس که در حدود ۸ ماه از سال، سیستم تهويه پس از ترکش‌ها که نیروی محرکه جهت جایی قطار را فراهم می‌آورد، بیشترین اهمیت را از منظر مدیریت بهره برداری دارا می‌باشد. به منظور روشن تر شدن اهمیت تحقیق کافی است حجم بالای جایی مسافر توسط قطارهای مترو با ظرفیت اسمی ۴۴ نفر نشسته و ۱۴۴ نفر ایستاده در هر واگن را درنظر گرفته و هزینه‌های اجتماعی عدم رضایت در هر بار انتقال مسافر را به آن بیفزایید. بنابراین باید گفت عملکرد مطمئن سیستم تهويه مترو نقش تعیین کننده‌ای در کیفیت خدمت ارائه شده بازی می‌کند. در این پژوهش با تعریف سیستم تهويه به عنوان واحدهای تصمیم‌گیری، از آن جهت ارزیابی عملکرد سیستم و در نهایت کمک به تصمیم‌سازی راهبردی نگهداری و تعمیرات اعم از داشتن تخمینی از ظرفیت کارگاه نگهداری و تعمیرات، تامین قطعات یدکی و نیروی انسانی مورد نیاز استفاده می‌شود.

روش‌های گوناگونی برای اندازه گیری ارزیابی عملکرد سیستم‌های نگهداری وجود دارد که تعدادی از آنها عبارت اند از مدل کارت امتیازی متوازن (السیوف<sup>۲</sup>، ۲۰۰۶؛ ماتر<sup>۳</sup>، ۲۰۰۵)،

<sup>1</sup> Madu

<sup>2</sup> Alsyouf

<sup>3</sup> Mather

مدل نگهداری و تعمیرات مبتنی لرزش (النجار<sup>۱</sup> و السیوف، ۲۰۰۴)، گسترش عملکرد کیفیت یا گسترش کارکرد کیفی (کوتوسوگلو<sup>۲</sup> و همکاران، ۲۰۰۱)، ارزیابی عملکرد به کمک سیستم‌های اطلاعاتی نگهداری و تعمیرات (آرتز<sup>۳</sup> و همکاران، ۱۹۹۸)، اثربخشی جامع تجهیزات (dal<sup>۴</sup> و همکاران، ۲۰۰۰)، فرایند تحلیل سلسله مراتبی (بویلاکو<sup>۵</sup> و براگلیا<sup>۶</sup>، ۲۰۰۰؛ برتویینی<sup>۷</sup> و بویلاکو، ۲۰۰۶) و اخیراً نیز تحلیل پوششی داده‌ها در مقالات گوناگونی از جمله برای ارزیابی تعمیر و نگهداری هوپیماها (ون دن برگ<sup>۸</sup> و همکاران، ۲۰۱۳)، پل‌ها (وکچیر<sup>۹</sup> و جی‌ها<sup>۱۰</sup>؛ ازبک<sup>۱۱</sup> و همکاران، ۲۰۱۰)، جاده‌ها (ازبک و همکاران، ۲۰۱۰؛ روس<sup>۱۲</sup> و چیو<sup>۱۳</sup>، ۲۰۰۹)، بزرگراه‌ها (فلاح فینی<sup>۱۴</sup> و همکاران، ۲۰۱۲) و ... استفاده شده است. تمامی این مقالات از روش‌های سنتی تحلیل پوششی داده‌های استفاده کردند. در سال‌های اخیر مدل DEA<sup>۱۵</sup> سنتی توسعه یافته و مدل جدیدی تحت عنوان مدل تحلیل پوششی داده‌های ارتباطی (Relational DEA) ارائه شده است. در این روش، هنگام ارزیابی سیستم، ارتباطات درون سیستم نیز در نظر گرفته می‌شود به طوری که کارائی کلی سیستم از کارائی اجزا درون سیستم حاصل می‌شود.

در این تحقیق هدف ما اندازه گیری کارائی سیستم تهویه، بر اساس تجهیزات موجود در آن به کمک تحلیل پوششی داده‌های ارتباطی سه مرحله‌ای می‌باشد. شایان ذکر است به علت وجود خطاهای گوناگونی از جمله خطاهای انسانی، دستگاه‌ها، داده‌های سانسور شده، داده‌های پرت

<sup>۱</sup> Al-Najjar

<sup>۲</sup> Kutucuoglu

<sup>۳</sup> Arts

<sup>۴</sup> Dal

<sup>۵</sup> Bevilacqua

<sup>۶</sup> Braglia

<sup>۷</sup> Bertolini

<sup>۸</sup> Van den Bergh

<sup>۹</sup> Wakchaure

<sup>۱۰</sup> Jha

<sup>۱۱</sup> Ozbek

<sup>۱۲</sup> Rouse

<sup>۱۳</sup> Chiu

<sup>۱۴</sup> Fallah-Fini

<sup>۱۵</sup> Data envelopment analysis

و مسائل کار کردن با داده‌های میدانی و ... معمولاً داده‌های در دسترس، داده‌های قطعی و معینی نمی‌باشند. در این تحقیق ما از رویکرد فازی جهت مقابله با عدم قطعیت در داده‌ها استفاده خواهیم کرد.

یکی از کارهای مهم در هنگام کار با تحلیل پوششی داده‌ها تعریف هوشمندانه واحدهای تصمیم گیری و تعیین مناسب شاخص‌های سیستم می‌باشد. در این تحقیق واحد تصمیم گیری سیستم تهويه قطارهای DC مترو شهر تهران بوده و از مهمترین شاخص‌های حوزه نگهداری تعمیرات، آنالیز قابلیت اطمینان، دسترس پذیری و نگهداشت(RAM)<sup>۱</sup> جهت تعیین شاخص‌های (ورودی‌ها و خروجی‌های) واحد تصمیم گیری استفاده شده است. از جمله مهمترین معیارهای ارزیابی عملکرد برای سیستم‌های تعمیر پذیر چه در حوزه طراحی و چه در زمینه عملیاتی، آنالیز قابلیت اطمینان نگهداشت پذیری و دسترس پذیری سیستم‌هاست. در این میان تحلیل دسترس پذیری به سبب آنکه هر دو پارامتر قابلیت اطمینان و نگهداشت پذیری را در خود دارد، بسیار حائز اهمیت است.

نوآوری این تحقیق در ارزیابی سیستم تهويه قطار مترو در موارد زیر قابل بررسی است. اولاً، مدل تحلیل پوششی داده‌های فازی کائو<sup>۲</sup> و لیو<sup>۳</sup> (۲۰۱۱) برای سیستمی که دو زیر سیستم به صورت سری به هم متصل‌اند نوشته شده است که مدل حد پایین آن، مدل غیر خطی می‌باشد. در این مقاله ما از سیستم سری که در آن سه زیر سیستم به صورت سری به هم متصل می‌باشند استفاده کرده و هم چنین حد پایین مدل ارائه شده خطی خواهد بود. لذا مزیت این مدل نسبت به مدل کائو و لیو (۲۰۱۱) در خطی بودن حد پایین و سه مرحله‌ای بودن آن می‌باشد. ثانیا ، برخلاف اکثر مقاله‌ها که از شاخص‌هایی محسوسی همچون درآمد، هزینه، تعداد مسافر و... استفاده می‌شود، از شاخص‌های آنالیز RAM جهت انتخاب ورودی و خروجی‌های مدل استفاده گریده است. در کنار این موارد، مورد کاوی این مسئله برای اولین بار است که در مقالات به چاپ می‌رسد.

<sup>1</sup>Reliability, Availability, Maintainability

<sup>2</sup>Kao

<sup>3</sup>Liu

### پیشینه تحقیق

یکی از روش‌های پر کاربرد در جهت ارزیابی کارایی، روش DEA است که به منظور اندازه‌گیری کارایی نسبی واحدهای مشابه که دارای ورودی و خروجی مشترک هستند به کار می‌رود. روش DEA یک مدل برنامه‌ریزی خطی ارائه می‌دهد که خروجی آن ترکیب وزنی واحدهای مشابه است. هدف این روش مشخص نمودن واحدهای غیر کارا و واحدهای کارا است. ارزیابی کارایی در مدل‌های تحلیل پوششی داده به شکل کلاسیک آن معمولاً مبنی بر این فرض است که ورودی‌های سیستم می‌باشد کمینه گردن و خروجی‌ها بیشنه شوند. مروری بر مطالعات انجام شده در حوزه حمل و نقل نشان می‌دهد که طور گسترده در راه آهن (جیتسو زومی<sup>۱</sup> و ناکامورا<sup>۲</sup>، ۲۰۱۰؛ آزاده<sup>۳</sup> و همکاران، ۲۰۰۸)، خطوط هوایی‌مایی (اسکراگا<sup>۴</sup>، ۲۰۰۴)، حمل و نقل عمومی (سمپائو<sup>۵</sup> و همکاران، ۲۰۰۸)، بندرهای دریایی (سویلنان<sup>۶</sup> و همکاران، ۲۰۰۶؛ هانگ<sup>۷</sup> و همکاران، ۲۰۱۰) و فرودگاه‌ها (مارتن<sup>۸</sup> و رومان<sup>۹</sup>، ۲۰۰۱) استفاده شده است. اسموگی<sup>۱۰</sup> (۲۰۱۱) مطالعات تحلیل پوششی داده‌ها را در صنعت حمل و نقل بررسی کرده و نشان داده که ۶۴ مورد مطالعات حمل و نقل با استفاده از DEA وجود دارد که بخش فرودگاه‌ها ۲۳ مورد، بنادر ۲۱ مورد، حمل و نقل عمومی ۱۰ مورد، راه آهن ۹ مورد، خطوط هوایی‌مایی ۴ مورد و بقیه موارد ۲ مورد می‌باشند. در این پژوهش، یکی از تجهیز حیاتی تهويه سیستم حمل و نقل عمومی مترو تهران را مورد ارزیابی قرار داده‌ایم.

مدل DEA هیچ گونه فرضیاتی را در مورد فرآیندهای داخلی DMU‌ها در نظر نمی‌گیرد. در واقع تحلیل پوششی داده‌ها با DMU‌ها مثل یک جعبه سیاه (بدون در نظر گرفتن فرآیندهای

<sup>1</sup> Jitsuzumi

<sup>2</sup> Nakamura

<sup>3</sup> Azadeh

<sup>4</sup> Scheraga

<sup>5</sup> Sampaio

<sup>6</sup> Cullinane

<sup>7</sup> Hung

<sup>8</sup> Martín

<sup>9</sup> Román

<sup>10</sup> Somogyi

داخلی آنها) که در آنها ورودی‌ها برای تولید خروجی‌ها استفاده می‌شوند، رفتار می‌کند. اما در بعضی از موارد که چندین ماشین به صورت سری به هم متصل شده‌اند، DMU‌ها معمولاً شامل دو یا تعداد بیشتری مرحله می‌باشند و نمی‌توان مثل جعبه سیاه با آنها رفتار کرد، زیرا خروجی یک مرحله ورودی مرحله بعد می‌باشد. لذا این مراحل با هم در ارتباط و وابسته می‌باشند. این مسئله سبب توسعه مدل‌های DEA شده است. مقالاتی را که در آنها، ساختار درونی و ارتباطات درون سیستم را در نظر گرفته‌اند را به سه دسته، مستقل، متصل و ارتباطی تقسیم بندی کردند (کائو و لیو، ۲۰۱۱).

در روش مستقل، هر مرحله به طور جداگانه و بدون در نظر گرفتن ارتباط بین دو مرحله ارزیابی می‌شود. سیفرود<sup>۱</sup> و ژو<sup>۲</sup> (۱۹۹۹) اولین کسانی بودند که این مدل را مطالعه کردند. آنها این روش را برای ارزیابی ۵۵ بانک برتر تجاری در آمریکا به کار برdenد به طوری که نام مرحله اول سودآوری و نام مرحله دوم این فرآیند، بازاریابی بود. ورودی مرحله اول شاخص‌های کارمندان، دارایی، سرمایه سهامداران و خروجی آن درآمد و سود بود و خروجی مرحله دوم ارزش بازار، درآمد هر سهم و نرخ بازگشت سرمایه است. ژو (۲۰۰۰) روش مشابهی را برای ارزیابی کارایی ۵۰۰ شرکت به کار برد. در مقاله‌های ژو (۲۰۰۰)، سکستون<sup>۳</sup> و لویس<sup>۴</sup> (۲۰۰۳) و ناراسیمھان<sup>۵</sup> و همکاران (۲۰۰۴) از این نوع روش استفاده شده است. سکستون و لویس (۲۰۰۳) مدل مشابهی را برای اندازه‌گیری کارایی تیم‌ها در لیگ بیسبال به کار برdenد. ورودی مرحله اول از جنس پول می‌باشد که تیم برای خرید بازیکن و غیره خرج می‌کند و خروجی آن استعداد بازیکنان است و خروجی مرحله آخر هم تبدیل استعداد به پیروزی در مسابقات است.

در روش متصل، هنگام اندازه‌گیری کارایی سیستم، ارتباطات بین اعضا و زیر سیستم‌ها در نظر گرفته می‌شود. اما برای محاسبه کارایی اجزا مثل روش مستقل، کارایی اجزا به طور مجزا

<sup>1</sup> Seiford

<sup>2</sup> Zhu

<sup>3</sup> Sexton

<sup>4</sup> Lewis

<sup>5</sup> Narasimhan

و بدون در نظر گرفتن ارتباطات محاسبه می‌شود. اگر چه در این روش، کارائی محاسبه شده برای کارائی کل سیستم مناسب می‌باشد اما هنوز ارتباطی بین کارائی سیستم و کارائی اجزا وجود ندارد. چون کارائی اجزا مستقل از کارائی سیستم محاسبه شده است. این روش توسط فر<sup>۱</sup> و گروسکوپف<sup>۲</sup> (۲۰۰۰) ارائه گردیده است.

در مدل ارتباطی، هنگام ارزیابی کارائی سیستم، ارتباطات درونی بین اجزاء سیستم در نظر گرفته می‌شود به طوری که با استفاده از یک مدل ریاضی کارائی سیستم و زیر سیستم‌ها محاسبه می‌شود. از آنجا که کارائی سیستم و کارائی زیر سیستم‌ها از درون محدودیت‌های مدل ریاضی بست می‌آید لذا ارتباط معناداری بین کارائی سیستم و کارائی اجزاء وجود دارد. این مدل اولین بار توسط کائو و هوانگ<sup>۳</sup> (۲۰۰۸) برای سیستم دو جزئی که اعضاء آن به به صورت سری به هم متصل شده اند ارائه گردید. کائو (۲۰۰۹) با افزودن زیر سیستم‌های بیشتر، مدل تحلیل پوششی ارتباطی را برای حالات سری و موازی توسعه داد. کائو و هوانگ (۲۰۱۰) این مدل را برای محاسبه کارائی ساختارهای شبکه توسعه دادند. مدل تحلیل پوششی داده‌های ارتباطی در صنعت‌های گوناگونی از جمله دانشکده‌ها (چانگ<sup>۴</sup> و همکاران، ۲۰۱۲)، سیستم‌های نوع آوری (چن<sup>۵</sup> و گان<sup>۶</sup>، ۲۰۱۰)، تاثیر فناوری اطلاعات در عملکرد شرکت (کائو و هوانگ<sup>۷</sup>، ۲۰۱۰)، بانک‌ها (وانگ<sup>۸</sup> و همکاران، ۲۰۱۴؛ یانگ<sup>۹</sup> و لیو، ۲۰۱۲)، یمه‌ها (کائو و هوانگ<sup>۱۰</sup>، ۲۰۰۸)، شرکت‌های اینترنتی (یانگ<sup>۱۱</sup> و لیو، ۲۰۱۲) و ... مورد استفاده قرار گرفته است. دسته‌بندی‌های دیگری هم برای مدل‌های شبکه‌ای وجود دارد (هالکوس<sup>۹</sup> و همکاران، ۲۰۱۴؛ کائو، ۲۰۱۴). در این تحقیق ما از روش تحلیل پوششی داده‌های ارتباطی برای

<sup>1</sup> Färe

<sup>2</sup> Grosskopf

<sup>3</sup> Hwang

<sup>4</sup> Chang

<sup>5</sup> Chen

<sup>6</sup> Guan

<sup>7</sup> Wang

<sup>8</sup> Yang

<sup>9</sup> Halkos

ارزیابی سیستم و تجهیزات استفاده خواهیم کرد. یکی از مسائل اصلی در تحلیل پوششی داده‌های ارتباطی تعیین شاخص‌های کلیدی سیستم می‌باشد.

داده‌ها در دنیا واقعی معمولاً قطعی و معین نمی‌باشند. خلیلی دامغانی و همکاران<sup>۱</sup> (۲۰۱۲) یک مدل تحلیل پوششی داده‌های دو مرحله‌ای برای اندازه گیری عملکرد زنجیره تامین ارائه دادند. آن‌ها برای مدل کردن معیارهای مبهم و کیفی در مدل تحلیل پوششی داده‌های فازی دو مرحله‌ای طراحی شده برای اندازه گیری عملکرد زنجیره تامین از متغیرهای کلامی در مجموعه فازی استفاده کردند. خلیلی دامغانی و تقوی فرد<sup>۲</sup> (۲۰۱۳) تحلیل حساسیت و پایداری در تحلیل پوششی داده‌های دو مرحله‌ای با داده‌های فازی انجام دادند. آنها چندین مدل برای اندازه گیری شاعع پایداری برای یک DMU پیشنهاد دادند. خلیلی دامغانی و توانا (۲۰۱۴) یک مدل تحلیل پوششی داده‌های فازی دو مرحله‌ای برای اندازه گیری کارائی سیستم و زیر سیستم‌ها ارائه دادند. آن‌ها از بازی استکلبرگ تجزیه کارائی DMU به مجموعه کارائی‌ها برای زیر سیستم‌ها استفاده کردند. خلیلی دامغانی و تقوی فرد<sup>۳</sup> (۲۰۱۲) روش تحلیل پوششی داده‌های فازی سه مرحله‌ای را برای اندازه گیری عملکرد یک فرآیند سری شامل تولید به هنگام، شاخص‌های جابکی و اهداف کلی در یک زنجیره تامین پیشنهاد دادند. خلیلی دامغانی و توانا<sup>۴</sup> (۲۰۱۳) یک مدل تحلیل پوششی داده‌های شبکه‌ای جدید با داده‌های فازی برای اندازه گیری جابکی در زنجیره تامین ارائه دادند. آنها مدل ارائه شده را برای اندازه گیری جابکی یک مورد کاوی واقعی در صنعت لبیاتی به کار برdenد.

کائو و لیو (۲۰۱۱) مدل تحلیل پوششی داده دو مرحله را با داده‌های فازی توسعه دادند. کائو و لین<sup>۵</sup> (۲۰۱۲) مدل تحلیل پوششی داده‌های ارتباطی را در حالتی موازی با داده‌های فازی ترکیب کردند. ضعف اساسی مدل کائو و لیو (۲۰۱۱) در غیر خطی بودن حد پایین آن می‌باشد. با توجه به غیر خطی بودن مدل حد پایین، لذا جواب حاصل برای کارائی کل سیستم

<sup>۱</sup> Khalili-Damghani

<sup>2</sup> Taghavifard

<sup>3</sup> Tavana

<sup>4</sup> Lin

و اجزا آن نیز بهینه محلی خواهد شد. با بزرگ شدن ابعاد مسئله امکان دور شدن بیشتر از جواب بهینه بیشتر خواهد شد. در این تحقیق ما مدل تحلیل پوششی داده های دو مرحله ای کائو و لیو (۲۰۱۱) را برای حالتی که در سیستم، سه زیر سیستم به صورت سری متصل است توسعه می دهیم. نقطه قوت اساسی مدل ارائه شده در این است برخلاف حد پایین کائو و لیو که غیر خطی بود، حد پایین مدل ما خطی می باشد لذا کارائی های محاسبه شده در حد پایین برای کل سیستم تهווیه و هم برای اجزاء آن جواب های بهینه خواهد بود. در ضمن مورد کاوی این مسئله برای اولین بار است که در مقالات به چاپ می رسد.

### متدولوزی

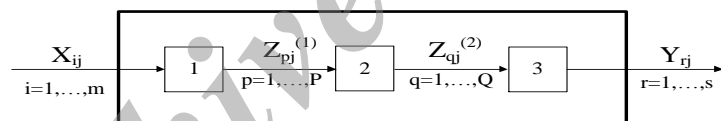
تحلیل پوششی داده ها روشی مبتنی بر برنامه ریزی ریاضی است که کارایی مجموعه ای از واحدهای تصمیم گیرنده را بر اساس شاخص های ورودی و خروجی محاسبه می کند. تحلیل پوششی داده های سنتی توسط چارنس<sup>۱</sup> و همکاران (۱۹۷۸) معرفی و ارائه شد. کائو (۲۰۰۹) برای اولین بار مدل تحلیل پوششی ارتباطی را برای حالت سری ارائه داد. کائو مدل تحلیل پوششی داده های ارتباطی را برای سیستمی که در آن  $h$  مرحله به صورت سری به هم متصل شده اند را توسعه داد. شکل ۳ سیستم که در آن سه زیر سیستم به صورت سری متصل شده اند را نشان می دهد. در شکل ۳  $X_{ij}$  و  $Y_{rj}$  به ترتیب نامین ورودی و نامین خروجی سیستم می باشند.  $Z_{pj}^{(1)}$  محصول میانی  $p = I, \dots, P$ ، زیر سیستم ۱ و  $Z_{qj}^{(2)}$  محصول میانی  $q = Q, \dots, Q$ ، زیر سیستم ۲ برای واحد تصمیم گیری  $j$  می باشد. محصولات میانی همزمان خروجی یک مرحله و ورودی مرحله بعدی می باشند. جدول ۴ نماد های استفاده شده در این مقاله را نشان داده است.

جدول ۴: نماد های استفاده شده در تحلیل پوششی داده های سه مرحله ای

$X_{ij}$	مقدار نامین ورودی، $i = I, \dots, m$ ، $j = 1, \dots, n$ $DMU_j$ که توسط $j$ مصرف می شود.
$Y_{rj}$	مقدار نامین ورودی، $r = I, \dots, s$ ، $j = 1, \dots, n$ $DMU_j$ که توسط $j$ تولید می شود.

<sup>۱</sup> Charnes

$Z_{pj}^{(1)}$	به طور همزمان مقدار خروجی میانی $p=1, \dots, P$ زیر سیستم ۱ برای $j=1, \dots, n DMU_j$ و مقدار ورودی میانی $p=1, \dots, P$ زیر سیستم ۲ برای $j=1, \dots, n DMU_j$
$Z_{qj}^{(2)}$	به طور همزمان مقدار خروجی میانی $q=1, \dots, Q$ ، زیر سیستم ۲ برای $j=1, \dots, n DMU_j$ و مقدار ورودی میانی $q=1, \dots, Q$ ، زیر سیستم ۳ برای $j=1, \dots, n DMU_j$
$v_i$	وزن ورودی $i=1, \dots, m$
$u_r$	وزن ورودی خروجی $r=1, \dots, s$
$w_p^{(1)}$	وزن محصول میانی $p=1, \dots, P$ زیر سیستم اول
$w_q^{(2)}$	وزن محصول میانی $q=1, \dots, Q$ زیر سیستم دوم
$E_k$	کارائی کل سیستم
$E_k^{(t)}$	کارائی زیر سیستم $t=1, \dots, 3$



شکل ۳: ساختار سیستم سری سه مرحله‌ای

کارائی  $DMU_k$  برای حالت سری با مدل  $CCR$  ورودی محور به شرح زیر محاسبه می‌گردد:

$$E_k = \max \sum_{r=1}^s u_r Y_{rk} \quad (1)$$

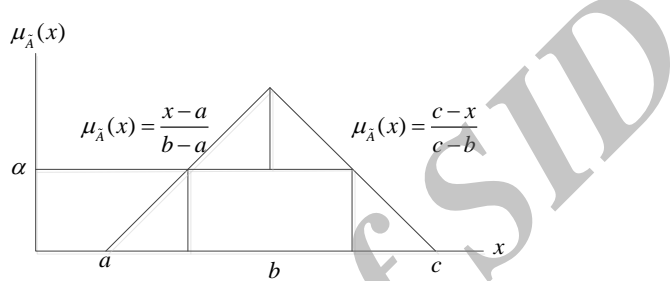
s.t.:

$$\begin{aligned}
 \sum_{i=1}^m v_i X_{ik} &= 1 \\
 \sum_{r=1}^s u_r Y_{rj} - \sum_{i=1}^m v_i X_{ij} &\leq 0 \quad j = 1, \dots, n \\
 \sum_{p=1}^P w_p^{(1)} Z_{pj}^{(1)} - \sum_{i=1}^m v_i X_{ij} &\leq 0 \quad j = 1, \dots, n \\
 \sum_{q=1}^Q w_q^{(2)} Z_{qj}^{(2)} - \sum_{p=1}^P w_p^{(1)} Z_{pj}^{(1)} &\leq 0, \quad j = 1, \dots, n, \\
 \sum_{r=1}^s u_r Y_{rj} - \sum_{q=1}^Q w_q^{(2)} Z_{qj}^{(2)} &\leq 0, \quad j = 1, \dots, n \\
 u_r, v_i, w_p^{(1)}, w_q^{(2)} &\geq \varepsilon, \quad r = 1, \dots, s, \quad i = 1, \dots, m, \quad p = 1, \dots, P, \quad q = 1, \dots, Q
 \end{aligned}$$

که در آن،  $u_r, v_i$  به ترتیب بیانگر وزن ورودی  $i$ ام و خروجی  $r$ ام می‌باشد. همچنین  $w_p^{(1)}$  و  $w_q^{(2)}$  به ترتیب مربوط به وزن محصول میانی مرحله اول و دوم می‌باشند. محدودیت شماره یک تصمین می‌کند که مجموع ورودی‌های سیستم برابر یک باشد. محدودیت دوم بیانگر این مطلب است که مجموع وزنی خروجی‌های سیستم باید از مجموع وزنی ورودی‌های سیستم کمتر باشد. محدودیت‌های بعدی نیز تصمین می‌کند که مجموع وزنی خروجی‌های هر مرحله از مجموع وزنی ورودی‌های آن کمتر باشد.

ورودی‌ها و خروجی‌های مدل تحلیل پوششی داده‌های معرفی شده برای قسمت سری، قطعی و معین بودند در حالی که در دنیای واقعی اکثر داده‌ها به صورت غیر قطعی می‌باشند. در این بخش فرض می‌کنیم که تمام داده‌ها یا بخشی از داده‌ها نامعین و غیر قطعی می‌باشند و از ایده فازی برای توصیف آنها استفاده خواهیم نمود از اینجا که اعداد فازی مثلثی رایج ترین نوع در ادبیات موضوعی می‌باشند و در عدم اطمینان در مسئله ما به اعداد فازی مثلثی شباهت دارد، در این مقاله فرض کردیم که ورودی‌ها و خروجی به صورت اعداد فازی مثلثی هستند.تابع عضویت اعداد فازی در رابطه (۲) و به صورت گرافیکی شکل ۴ نشان داده شده است.

$$\mu_{\tilde{A}}(x) = \begin{cases} \frac{x-a}{b-a} & a \leq x \leq b \\ \frac{c-x}{c-b} & b \leq x \leq c \\ 0 & \text{Otherwise} \end{cases} \quad (2)$$



شکل ۴: نمایش گرافیکی اعداد فازی مثلثی

فرض کنید که متغیرهای  $\tilde{Y}_{rj}$  و  $\tilde{Z}_{pj}^{(1)}, \tilde{Z}_{qj}^{(2)}, \tilde{X}_{ij}$  به ترتیب نشان دهنده حالت فازی متغیرهای  $Y_{rj}$ ,  $Z_{pj}^{(1)}, Z_{qj}^{(2)}$ ,  $X_{ij}$  باشند. متغیرهای  $\mu_{\tilde{Y}_{rj}}, \mu_{\tilde{Z}_{pj}^{(1)}}, \mu_{\tilde{Z}_{qj}^{(2)}}, \mu_{\tilde{X}_{ij}}$  نشان داده می‌شوند. بر اساس اصل مجموعه فازی با تابع عضویت  $\mu_{\tilde{Y}_{rj}}, \mu_{\tilde{Z}_{pj}^{(1)}}, \mu_{\tilde{Z}_{qj}^{(2)}}, \mu_{\tilde{X}_{ij}}$  نشان داده می‌شوند. بر اساس اصل گسترش زاده (۱۹۷۵، ۱۹۷۲) تابع عضویت  $\mu_{\tilde{E}_k}$  برای کارائی  $E_k$  به صورت زیر محاسبه می‌گردد:

$$\mu_{\tilde{E}_k}(g) = \sup_{\forall i, j, p, q, r} \min \{\mu_{\tilde{X}_{ij}}(x_{ij}), \mu_{\tilde{Z}_{pj}^{(1)}}(z_{pj}^{(1)}), \mu_{\tilde{Z}_{qj}^{(2)}}(z_{qj}^{(2)}), \mu_{\tilde{Y}_{rj}}(y_{rj}), |g = E_k(x, z, y)|\} \quad (3)$$

که در آن (۱) در مدل (۱) تعریف شده است و در این حالت متغیرهای  $x_{ij}$ ,  $y_{rj}$  و  $z_{pj}^{(1)}, z_{qj}^{(2)}$  که با حروف کوچک نشان داده شده‌اند متغیرهای معین و مشخص می‌باشند. برای برش  $\alpha$  حد بالا و پایین متغیرهای  $\tilde{Y}_{rj}$  و  $\tilde{Z}_{pj}^{(1)}, \tilde{Z}_{qj}^{(2)}, \tilde{X}_{ij}$  به ترتیب

$(Z_{qj}^{(2)})_\alpha = [Z_{qj}^{(\frac{2L}{\alpha})} \ Z_{qj}^{(\frac{U2}{\alpha})}]$ ،  $(Z_{pj}^{(1)})_\alpha = [Z_{pj}^{(\frac{L}{\alpha})} \ Z_{pj}^{(\frac{U1}{\alpha})}]$ ،  $(X_{ij})_\alpha = [(X_{ij})_a^L, (X_{ij})_a^U]$  و  $(Y_j)_\alpha = [Y_j^L \ Y_j^U]$  تعریف می‌کنیم. برای پیدا کردن عضویت  $\mu_{\tilde{E}_k}$ ، کافی است حد بالا و پایین برش  $\alpha$  تابع رابطه (۳) است، برای پیدا کردن عضویت  $\mu_{\tilde{E}_k}$  کافی است حد بالا و پایین برش  $\alpha$  تابع عضویت  $\mu_{\tilde{E}_k}$  را از رابطه‌های زیر بدست آوریم:

$$(E_k)_a^U = \max_{\substack{(X_{ij})_a^L \leq x_{ij} \leq (X_{ij})_a^U \\ (Z_{pj}^{(1)})_a^L \leq z_{pj}^{(1)} \leq (Z_{pj}^{(1)})_a^U \\ (Z_{qj}^{(2)})_a^L \leq z_{qj}^{(2)} \leq (Z_{qj}^{(2)})_a^U \\ (Y_j)_a^L \leq y_j \leq (Y_j)_a^U \\ \forall i, p, q, j}} E_k(x, z, y) \quad (4)$$

$$(E_k)_a^L = \min_{\substack{(X_{ij})_a^L \leq x_{ij} \leq (X_{ij})_a^U \\ (Z_{pj}^{(1)})_a^L \leq z_{pj}^{(1)} \leq (Z_{pj}^{(1)})_a^U \\ (Z_{qj}^{(2)})_a^L \leq z_{qj}^{(2)} \leq (Z_{qj}^{(2)})_a^U \\ (Y_j)_a^L \leq y_j \leq (Y_j)_a^U \\ \forall i, p, q, j}} E_k(x, z, y) \quad (5)$$

مدل (۴) و (۵) مدل برنامه ریزی دو سطحی می‌باشند که تنها برای مدل سازی از آن‌ها استفاده می‌شود. لذا برای حل مدل برنامه ریزی دو سطحی باید آن‌ها به مدل برنامه ریزی یک سطحی تبدیل شوند. در این نوع مسائل ابتدا باید مقادیر متغیرهای  $x_{ij}^{(1)}, z_{pj}^{(1)}, z_{qj}^{(2)}$  و  $y_{rj}$  به نحوی تعیین گردد که سبب پیدا شدن حد بالا و پایین مسئله شود.

### کران بالا

فرآیندی که موجب پیدا کردن مقدار متغیرهای  $x_{ij}^{(2)}, z_{pj}^{(2)}, z_{qj}^{(1)}$  و  $y_{rj}$  برای ماکزیمم کردن کارائی DMU واحد  $k$  و تبدیل مدل برنامه ریزی دو سطحی کران بالا به برنامه ریزی یک سطحی کران بالا می‌شود عبارت است از:

✓ جایگذاری بیشترین مقدار خروجی‌ها و کمترین مقدار ورودی‌های  $k$  DMU ام در مدل (۴)

✓ جایگذاری کمترین مقدار خروجی‌ها و بیشترین مقدار ورودی‌های بقیه DMU‌ها در مدل (۴)

با اعمال موارد فوق، مدل به علت متغیرهای میانی ( $Z_{pj}^{(1)}$  و  $Z_{qj}^{(2)}$ ) هنوز برنامه ریزی دو سطحی می‌باشد. برای تبدیل آن به برنامه ریزی یک سطحی باید کران‌های متغیرهای میانی ( $(Z_{pj}^{(1)})_\alpha^L \leq z_{pj}^{(1)} \leq (Z_{pj}^{(1)})_\alpha^U$  و  $(Z_{qj}^{(2)})_\alpha^L \leq z_{qj}^{(2)} \leq (Z_{qj}^{(2)})_\alpha^U$ ) را مشخص نمود. با جایگزینی کردن محدودیت  $(Z_{qj}^{(2)})_\alpha^L \leq z_{qj}^{(2)} \leq (Z_{qj}^{(2)})_\alpha^U$  در داخل مدل (۴) داریم:

$$E_k = \max \sum_{r=1}^s u_r (Y_{rk})_\alpha^U$$

s.t.:

$$\begin{aligned} \sum_{i=1}^m v_i (X_{ik})_\alpha^L &= 1 \\ \sum_{r=1}^s u_r (Y_{rk})_\alpha^U - \sum_{i=1}^m v_i (X_{ik})_\alpha^L &\leq 0, \\ \sum_{r=1}^s u_r (Y_{rj})_\alpha^L - \sum_{i=1}^m v_i (X_{ij})_\alpha^U &\leq 0, \quad j = 1, \dots, n, j \neq k \\ \sum_{p=1}^P w_p^{(1)} Z_{pk}^{(1)} - \sum_{i=1}^m v_i (X_{ik})_\alpha^L &\leq 0, \\ \sum_{p=1}^P w_p^{(1)} Z_{pj}^{(1)} - \sum_{i=1}^m v_i (X_{ij})_\alpha^U &\leq 0, \quad j = 1, \dots, n, j \neq k \\ \sum_{q=1}^Q w_q^{(2)} Z_{qj}^{(2)} - \sum_{p=1}^P w_p^{(1)} Z_{pj}^{(1)} &\leq 0 \quad j = 1, \dots, n, \\ \sum_{r=1}^s u_r (Y_{rk})_\alpha^U - \sum_{q=1}^Q w_q^{(2)} Z_{qk}^{(2)} &\leq 0, \\ \sum_{r=1}^s u_r (Y_{rj})_\alpha^L - \sum_{q=1}^Q w_q^{(2)} Z_{qk}^{(2)} &\leq 0, \quad j = 1, \dots, n, j \neq k \end{aligned} \tag{5}$$

$$\begin{aligned} (Z_{pj}^{(1)})_\alpha^L \leq z_{pj}^{(1)} \leq (Z_{pj}^{(1)})_\alpha^U, & \quad j=1, \dots, n, \quad p=1, \dots, P \\ (Z_{qj}^{(2)})_\alpha^L \leq z_{qj}^{(2)} \leq (Z_{qj}^{(2)})_\alpha^U, & \quad j=1, \dots, n, \quad q=1, \dots, Q \\ u_r, \gamma_i, w_p^{(1)}, w_q^{(2)} \geq \varepsilon, & \quad r=1, \dots, s, \quad i=1, \dots, m, \quad p=1, \dots, P, \quad q=1, \dots, Q, \end{aligned}$$

مدل به دلیل وجود جمله  $w_q^{(2)} Z_{qj}^{(2)}$  و  $w_p^{(1)} Z_{pj}^{(1)}$  یک مدل برنامه ریزی غیر خطی می‌باشد. نویسنده‌گانی مختلفی از جمله کائو و لیو (۲۰۱۱) از تغییر متغیر برای خطی‌سازی اینگونه مدل‌ها استفاده کرده‌اند. برای تبدیل آن به مدل برنامه ریزی یک خطی فرض کنید که:

$$\begin{aligned} L_{pj}^{(1)} = w_p^{(1)} Z_{pj}^{(1)} & \quad j=1, \dots, n, \quad p=1, \dots, P \\ L_{qj}^{(2)} = w_q^{(2)} Z_{qj}^{(2)} & \quad j=1, \dots, n, \quad q=1, \dots, Q \end{aligned} \tag{V}$$

با جایگذاری عبارت (۷) در مدل (۶) و تغییرات در محدودیت داریم:

$$\begin{aligned} E_k = \max \sum_{r=1}^s u_r (Y_{rk})_\alpha^U \\ \text{s.t.:} \\ \sum_{i=1}^m v_i (X_{ik})_\alpha^L = 1 \\ \sum_{r=1}^s u_r (Y_{rk})_\alpha^U - \sum_{i=1}^m v_i (X_{ik})_\alpha^L \leq 0, \\ \sum_{r=1}^s u_r (Y_{rj})_\alpha^L - \sum_{i=1}^m v_i (X_{ij})_\alpha^U \leq 0, \quad j=1, \dots, n, j \neq k \\ \sum_{p=1}^P L_{pk}^{(1)} - \sum_{i=1}^m v_i (X_{ik})_\alpha^L \leq 0, \\ \sum_{p=1}^P L_{pj}^{(1)} - \sum_{i=1}^m v_i (X_{ij})_\alpha^U \leq 0, \quad j=1, \dots, n, j \neq k \end{aligned} \tag{A}$$

$$\begin{aligned}
 & \sum_{q=1}^Q L_{qj}^{(2)} - \sum_{p=1}^P L_{pj}^{(1)} \leq 0, & j = 1, \dots, n, \\
 & \sum_{r=1}^s u_r(Y_{rk})_\alpha^U - \sum_{q=1}^Q L_{qk}^{(2)} \leq 0, \\
 & \sum_{r=1}^s u_r(Y_{rj})_\alpha^L - \sum_{q=1}^Q L_{qj}^{(2)} \leq 0, & j = 1, \dots, n, j \neq k \\
 & w_p^{(1)}(Z_{pj}^{(1)})_\alpha^L \leq L_{pj}^{(1)} \leq w_p^{(1)}(Z_{pj}^{(1)})_\alpha^U, & j = 1, \dots, n, p = 1, \dots, P \\
 & w_q^{(2)}(Z_{qj}^{(2)})_\alpha^L \leq L_{qj}^{(2)} \leq w_q^{(2)}(Z_{qj}^{(2)})_\alpha^U, & j = 1, \dots, n, q = 1, \dots, Q \\
 & u_r, \gamma_i, w_p^{(t)} \geq \varepsilon, \quad r = 1, \dots, s, \quad i = 1, \dots, m, \quad p = 1, \dots, q, \quad t = 1, \dots, h-1,
 \end{aligned}$$

فرض کنید  $L_q^{*(2)}$  و  $L_p^{*(1)}$  مقدارهای بهینه حاصل از مدل فوق می‌باشند. کارائی اجزا سیستم از رابطه زیر محاسبه می‌گردد.

$$(E_k)_\alpha^U = \sum_{r=1}^s u_r^*(Y_{rk})_\alpha^U / \sum_{i=1}^m v_i^*(X_{ik})_\alpha^L \quad (E_k^1)_\alpha^U = \sum_{p=1}^P L_{pk}^{*(1)} / \sum_{i=1}^m v_i^*(X_{ik})_\alpha^L$$

$$(E_k^2)_\alpha^U = \sum_{q=1}^Q L_{qk}^{*(2)} / \sum_{p=1}^P L_{pk}^{*(1)} \quad (E_k^3)_\alpha^U = \sum_{r=1}^s u_r^*(Y_{rk})_\alpha^U / \sum_{q=1}^Q L_{qk}^{(2)} \quad (4)$$

### کران پایین

فرآیندی که موجب پیدا کردن مقدار متغیرهای  $x_{ij}$ ,  $z_{pj}^{(t)}$  و  $y_{rj}$  برای ماکریم کردن کارائی واحد  $k$  DMU و تبدیل مدل برنامه ریزی دو سحطی کران پایین به برنامه ریزی یک سحطی می‌شود عبارت است از:

✓ جایگذاری بیشترین مقدار خروجی‌ها و کمترین مقدار ورودی‌های  $k$  DMU در

مدل (5)

✓ جایگذاری کمترین مقدار خروجی‌ها و بیشترین مقدار ورودی‌های بقیه DMU‌ها در مدل (۵). با اعمال موارد فوق داریم:

$$(E_k)_{\alpha}^L = \min_{\substack{(Z_{pj}^{(1)})_{\alpha}^L \leq z_{pj}^{(1)} \leq (Z_{pj}^{(1)})_{\alpha}^U \\ (Z_{qj}^{(2)})_{\alpha}^L \leq z_{qj}^{(2)} \leq (Z_{qj}^{(2)})_{\alpha}^U \\ \forall p, q, j}} \left\{ \begin{array}{l} E_k = \max \sum_{r=1}^s u_r (Y_{rk})_{\alpha}^L \\ s.t.: \\ \sum_{i=1}^m v_i (X_{ik})_{\alpha}^U = 1 \\ \sum_{r=1}^s u_r (Y_{rk})_{\alpha}^L - \sum_{i=1}^m v_i (X_{ik})_{\alpha}^U \leq 0, \\ \sum_{r=1}^s u_r (Y_{rj})_{\alpha}^U - \sum_{i=1}^m v_i (X_{ij})_{\alpha}^L \leq 0, \quad j = 1, \dots, n, j \neq k \\ \sum_{p=1}^P w_p^{(1)} Z_{pk}^{(1)} - \sum_{i=1}^m v_i (X_{ik})_{\alpha}^U \leq 0, \\ \sum_{p=1}^q w_p^{(1)} Z_{pj}^{(1)} - \sum_{i=1}^m v_i (X_{ij})_{\alpha}^L \leq 0, \quad j = 1, \dots, n, j \neq k \\ \sum_{p=1}^P w_p^{(1)} Z_{pj}^{(1)} - \sum_{q=1}^Q w_q^{(2)} Z_{qj}^{(2)} \leq 0, \quad j = 1, \dots, n, \\ \sum_{r=1}^s u_r (Y_{rk})_{\alpha}^L - \sum_{q=1}^Q w_q^{(2)} Z_{qk}^{(2)} \leq 0, \\ \sum_{r=1}^s u_r (Y_{rj})_{\alpha}^U - \sum_{q=1}^Q w_q^{(2)} Z_{qj}^{(2)} \leq 0, \quad j = 1, \dots, n, j \neq k \\ u_r, v_i, w_p^{(1)}, w_q^{(2)} \geq \varepsilon, \quad r = 1, \dots, s, \quad i = 1, \dots, m, \\ p = 1, \dots, q, \quad t = 1, \dots, h-1, \end{array} \right. \quad (10)$$

با اعمال موارد فوق، مدل (۱۰) به علت متغیرهای میانی ( $Z_{pj}^{(t)}$ ) هنوز برنامه ریزی دو سطحی

می‌باشد. برای تبدیل آن به برنامه ریزی یک سطحی باید کران‌های متغیرهای میانی ( $Z_{pj}^{(t)}$ ) را مشخص نمود. اما از آنجا که مسئله بیرونی مدل (۱۰) از نوع مینیمم کردن و مسئله داخلی از نوع ماکزیمم کردن می‌باشد نمی‌توان مثل کران بالا، محدودیت را وارد مدل کرد. لذا با استفاده از قضیه دوگان، دوگان مدل داخلی را می‌نویسیم تا هر دو مدل از نوع مینیمم شوند.

با نوشتم دوگان مدل داخلی داریم:

$$(E_k)_\alpha^L = \min_{\substack{(Z_{pj}^{(1)})_\alpha^L \leq z_{pj}^{(1)} \leq (Z_{pj}^{(1)})_\alpha^U \\ (Z_{qj}^{(2)})_\alpha^L \leq z_{qj}^{(2)} \leq (Z_{qj}^{(2)})_\alpha^U \\ \forall p,q,j}} \left\{ \begin{array}{l} (\mathbf{E}_k)_\alpha^L = \min \theta - \varepsilon \left( \sum_{i=1}^m s_i^x + \sum_{r=1}^s s_r^y + \sum_{p=1}^P s_p^{z^{(1)}} + \sum_{q=1}^Q s_q^{z^{(2)}} \right) \\ \theta(X_{ik})_\alpha^U - [\lambda_k(X_{ik})_\alpha^U + \sum_{j=1, j \neq k}^n \lambda_j(X_{ij})_\alpha^L] - [\lambda_k^{(1)}(X_{ik})_\alpha^U \\ + \sum_{j=1, j \neq k}^n \lambda_j^{(1)}(X_{ij})_\alpha^L] - s_i^x = 0 \quad i = 1, \dots, m \\ [\lambda_k(Y_{rk})_\alpha^L + \sum_{j=1, j \neq k}^n \lambda_j(Y_{rj})_\alpha^U] + [\lambda_k^{(3)}(Y_{rk})_\alpha^L + \\ \sum_{j=1, j \neq k}^n \lambda_j^{(3)}(Y_{rj})_\alpha^U] - (Y_{rk})_\alpha^L - s_r^y = 0 \quad r = 1, \dots, s \\ \sum_{j=1}^n \lambda_j^{(1)} z_{pj}^{(1)} - \sum_{j=1}^n \lambda_j^{(2)} z_{pj}^{(1)} - s_p^{z^{(1)}} = 0 \quad p = 1, \dots, P, \\ \sum_{j=1}^n \lambda_j^{(2)} z_{qj}^{(2)} - \sum_{j=1}^n \lambda_j^{(3)} z_{qj}^{(2)} - s_q^{z^{(2)}} = 0 \quad q = 1, \dots, Q, \\ \lambda_j, \lambda_j^{(t)} \geq 0, s_i^x, s_r^y, s_p^{z^{(1)}}, s_q^{z^{(2)}} \geq 0, j = 1, \dots, n, t = 1, \dots, 3 \\ i = 1, \dots, m; r = 1, \dots, s; p = 1, \dots, P; q = 1, \dots, Q \end{array} \right. \quad (11) \end{math>$$

در مدل (۱۱)، مسئله درونی و بیرونی هر دو از نوع مینیمم می‌باشند لذا می‌توان مدل برنامه ریزی سطحی را به یک مدل ریاضی یک سطحی به تبدیل کرد. مدل کران پایین برنامه ریزی یک سطحی مدل (۱۱) به شرح زیر می‌باشد:

$$(E_k)_\alpha^L = \min \theta - \varepsilon \left( \sum_{i=1}^m s_i^x + \sum_{r=1}^s s_r^y + \sum_{p=1}^P s_p^{z^{(1)}} + \sum_{q=1}^Q s_q^{z^{(2)}} \right)$$

st :

$$\theta(X_{ik})_\alpha^U - [\lambda_k(X_{ik})_\alpha^U + \sum_{j=1, j \neq k}^n \lambda_j(X_{ij})_\alpha^L] - [\lambda_k^{(1)}(X_{ik})_\alpha^U \\ + \sum_{j=1, j \neq k}^n \lambda_j^{(1)}(X_{ij})_\alpha^L] - s_i^x = 0 \quad i = 1, \dots, m \quad (12)$$

$$\begin{aligned}
 & [\lambda_k(Y_{rk})_\alpha^L + \sum_{j=1, j \neq k}^n \lambda_j(Y_{rj})_\alpha^U] + [\lambda_k^{(3)}(Y_{rk})_\alpha^L + \sum_{j=1, j \neq k}^n \lambda_j^{(3)}(Y_{rj})_\alpha^U] \\
 & -(Y_{rk})_\alpha^L - s_r^y = 0 \quad r = 1, \dots, s \\
 & \sum_{j=1}^n \lambda_j^{(1)} z_{pj}^{(1)} - \sum_{j=1}^n \lambda_j^{(2)} z_{pj}^{(1)} - s_p^{z^{(1)}} = 0 \quad p = 1, \dots, P, \\
 & \sum_{j=1}^n \lambda_j^{(2)} z_{qj}^{(2)} - \sum_{j=1}^n \lambda_j^{(3)} z_{qj}^{(2)} - s_q^{z^{(2)}} = 0 \quad q = 1, \dots, Q, \\
 & (Z_{pj}^{(1)})_\alpha^L \leq z_{pj}^{(1)} \leq (Z_{pj}^{(1)})_\alpha^U \quad p = 1, \dots, q, \\
 & (Z_{qj}^{(2)})_\alpha^L \leq z_{qj}^{(2)} \leq (Z_{qj}^{(2)})_\alpha^U \quad q = 1, \dots, Q, \\
 & \lambda_j, \lambda_j^{(t)} \geq 0, s_i^x, s_r^y, s_p^{z^{(1)}}, s_q^{z^{(2)}} \geq 0, j = 1, \dots, n, t = 1, \dots, 3 \\
 & i = 1, \dots, m; r = 1, \dots, s; p = 1, \dots, P; q = 1, \dots, Q
 \end{aligned}$$

مدل (۱۲) به خاطر جمله  $\lambda_j^{(t)} z_{pj}^{(t)}$  غیر خطی می‌باشد. برای خطی کردن آن یک متغیر جدید به صورت زیر تعریف می‌کنیم:

$$\begin{aligned}
 M_{pj}^{(1)} &= \lambda_j^{(1)} z_{pj}^{(1)}, \quad \hat{M}_{pj}^{(1)} = \lambda_j^{(2)} z_{pj}^{(1)}, \quad p = 1, \dots, P; \quad j = 1, \dots, n \\
 M_{qj}^{(2)} &= \lambda_j^{(2)} z_{qj}^{(2)}, \quad \hat{M}_{qj}^{(2)} = \lambda_j^{(3)} z_{qj}^{(2)}, \quad q = 1, \dots, Q; \quad j = 1, \dots, n
 \end{aligned} \tag{۱۳}$$

هر جمله محدودیت  $\lambda_j^{(2)} \leq z_{pj}^{(1)} \leq (Z_{pj}^{(1)})_\alpha^U$  را یکبار در  $\lambda_j^{(1)}$  و بار دیگر در  $\lambda_j^{(3)}$  ضرب می‌کنیم. به همین ترتیب هر جمله محدودیت  $(Z_{qj}^{(2)})_\alpha^L \leq z_{qj}^{(2)} \leq (Z_{qj}^{(2)})_\alpha^U$  را یکبار در  $\lambda_j^{(2)}$  و بار دیگر در  $\lambda_j^{(3)}$  ضرب می‌کنیم سپس رابطه (۱۳) را در مدل (۱۲) جایگزین می‌کنیم، داریم:

$$(E_k)_\alpha^L = \min \theta - \varepsilon \left( \sum_{i=1}^m s_i^x + \sum_{r=1}^s s_r^y + \sum_{p=1}^P s_p^{z^{(1)}} + \sum_{q=1}^Q s_q^{z^{(2)}} \right) \tag{۱۴}$$

st :

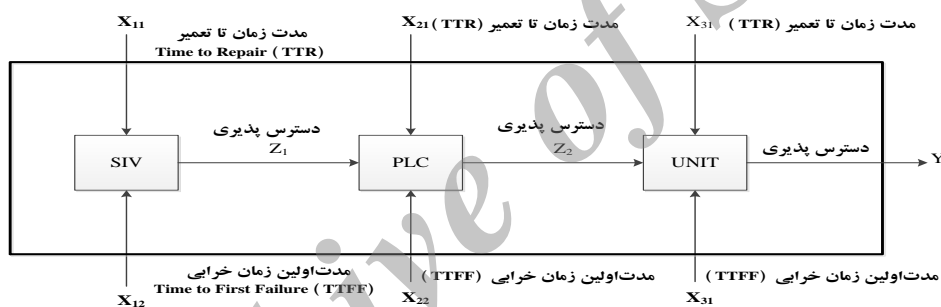
$$\begin{aligned}
 & \theta(X_{ik})_{\alpha}^U - [\lambda_k(X_{ik})_{\alpha}^U + \sum_{j=1, j \neq k}^n \lambda_j(X_{ij})_{\alpha}^L] - [\lambda_k^{(1)}(X_{ik})_{\alpha}^U \\
 & + \sum_{j=1, j \neq k}^n \lambda_j^{(1)}(X_{ij})_{\alpha}^L] - s_i^x = 0 \quad i = 1, \dots, m \\
 & [\lambda_k(Y_{rk})_{\alpha}^L + \sum_{j=1, j \neq k}^n \lambda_j(Y_{rj})_{\alpha}^U] + [\lambda_k^{(3)}(Y_{rk})_{\alpha}^L + \sum_{j=1, j \neq k}^n \lambda_j^{(3)}(Y_{rj})_{\alpha}^U] \\
 & - (Y_{rk})_{\alpha}^L - s_r^y = 0 \quad r = 1, \dots, s \\
 & \sum_{j=1}^n M_{pj}^{(1)} - \sum_{j=1}^n \hat{M}_{pj}^{(1)} - s_p^{z^{(1)}} = 0 \quad p = 1, \dots, P, \\
 & \sum_{j=1}^n M_{qj}^{(2)} - \sum_{j=1}^n \hat{M}_{qj}^{(2)} - s_q^{z^{(2)}} = 0 \quad q = 1, \dots, Q, \\
 & \lambda_j^{(1)}(Z_{pj}^{(1)})_{\alpha}^L \leq M_j^{(1)} \leq \lambda_j^{(1)}(Z_{pj}^{(1)})_{\alpha}^U \quad p = 1, \dots, P, \\
 & \lambda_j^{(2)}(Z_{pj}^{(1)})_{\alpha}^L \leq \hat{M}_j^{(1)} \leq \lambda_j^{(2)}(Z_{pj}^{(2)})_{\alpha}^U \quad p = 1, \dots, P, \\
 & \lambda_j^{(2)}(Z_{qj}^{(2)})_{\alpha}^L \leq M_{qj}^{(2)} \leq \lambda_j^{(2)}(Z_{qj}^{(2)})_{\alpha}^U \quad q = 1, \dots, Q, \\
 & \lambda_j^{(3)}(Z_{qj}^{(2)})_{\alpha}^L \leq \hat{M}_{qj}^{(2)} \leq \lambda_j^{(3)}(Z_{qj}^{(2)})_{\alpha}^U \quad q = 1, \dots, Q, \\
 & \lambda_j, \lambda_j^{(t)} \geq 0, s_i^x, s_r^y, s_p^{z^{(1)}}, s_q^{z^{(2)}} \geq 0, j = 1, \dots, n, t = 1, \dots, 3 \\
 & i = 1, \dots, m; r = 1, \dots, s; p = 1, \dots, P; q = 1, \dots, Q
 \end{aligned}$$

کارائی اجزا کران پایین از رابطه زیر محاسبه می‌گردد.

$$\begin{aligned}
 (E_k)_\alpha^L &= \sum_{r=1}^s u_r^*(Y_{rk})_{\alpha}^L / \sum_{i=1}^m v_i^*(X_{ik})_{\alpha}^U & (E_k^2)_\alpha^L &= \sum_{q=1}^Q w_q^{*(2)} z_{qk}^{*(2)} / \sum_{p=1}^q w_p^{*(1)} z_{pk}^{*(1)} \\
 (E_k^1)_\alpha^L &= \sum_{p=1}^P w_p^{*(1)} z_{pk}^{*(1)} / \sum_{i=1}^m v_i^*(X_{ik})_{\alpha}^U & (E_k^3)_\alpha^L &= \sum_{r=1}^s u_r^*(Y_{rk})_{\alpha}^L / \sum_{q=1}^Q w_q^{*(2)} z_{qk}^{*(2)}
 \end{aligned} \tag{۱۵}$$

### شناخت مسئله

سیستم تهویه مترو تهران که در این تحقیق مورد بررسی قرار گرفته است شامل مجموعه‌ای از مبدل از مبدل استاتیک<sup>۱</sup> (SIV)، باکس کنترلی<sup>۲</sup> (PLC) و یونیت می‌باشد. مبدل استاتیک و باکس کنترلی در داخل جعبه‌های فلزی در زیر واگن‌ها تعییه شده‌اند. یونیت‌ها روی سقف داخلی واگن‌ها استقرار یافته‌اند. نرخ خرابی زیر سیستم‌ها و نحوه ارتباط زیر سیستم‌ها به صورت شکل سری می‌باشد. اتصال سری اجراء به یکدیگر، عملکرد هر زیر سیستم این مجموعه را به یک مؤلفه بحرانی تبدیل ساخته است. به عبارت دیگر کارائی این سیستم و ارزیابی میزان در دسترس بودن آن به کارائی بالای همه اجزاء آن وابسته می‌باشد. شکل ۵ واحد تصمیم گیری که کل سیستم تهویه و ارتباط بین زیر سیستم‌های اصلی و ورودی و خروجی‌های آن را نشان می‌دهد.



شکل ۵: ساختار شبکه سیستم تهویه

### تبیین روابی شاخص‌ها

شاخص‌های کلیدی عملکرد را می‌توان به دو دسته کلی شاخص‌های کلیدی عملکرد قابلیت اطمینان، دسترس پذیری و نگهداری و تجهیزات و شاخص‌های کلیدی عملکرد هزینه تقسیم کرد. برخی از مهمترین شاخص‌های عملکرد تجهیزات در جدول زیر آمده است (دو<sup>۳</sup>،

:۲۰۰۸)

<sup>۱</sup> Static Converter

<sup>۲</sup> programmable logic controller

<sup>۳</sup> Du

جدول ۵: شاخصهای ارزیابی عملکرد تجهیزات

توضیحات	واحد	سنجه‌ها/شاخص‌ها
تعداد خرابی در واحد زمان (سنجه‌ای از قابلیت اطمینان)	No./Unit Time	فرکانس خرابی
متوسط زمان بین خرابی‌ها (سنجه‌ای از قابلیت اطمینان)	Hours	MTBF
زمان فعال + زمان از کار افتادگی / زمان فعال	%	دسترس پذیری
دسترس پذیری × نرخ عملکرد × نرخ کیفیت	%	کلی اثربخشی تجهیزات

یکی از مهمترین شاخصهای عملکرد سیستم‌های تعمیر پذیر چه به لحاظ طراحی و چه از نظر عملیاتی قابلیت اطمینان و دسترس پذیری سیستم است. بهبود قابلیت اطمینان و دسترس پذیری موضوع حجم وسیعی از تحقیقات بوده و تعداد زیادی از مقالات در این حوزه منتشر شده است. دسترس پذیری و قابلیت اطمینان ارزیابی‌های مناسبی از عملکرد سیستم را ارائه می‌دهند. ارزش این شاخص‌ها به عوامل متعددی از جمله ساختار سیستم وابسته است و با افزایش عمر قطعات کاهش می‌یابند. به عنوان مثال طول زمان سرویس دهی از تعاملات قطعات و اجزا سیستم با هم، سیاست‌های نگهداری و تعمیرات اعمال شده و شرایط محیطی متأثر می‌شود. الزامات اصلی برای عملکرد سیستم‌های پیچیده معمولاً بر حسب هزینه، دسترس پذیری و یا قابلیت اطمینان و یا به شکل معادل بر حسب متوسط زمان عملیاتی یا متوسط زمان از کار افتادگی تحت یک محدودیت هزینه بیان می‌شود (بارابادی<sup>۱</sup> و کومار<sup>۲</sup>). در ک اهمیت دسترس پذیری تجهیزات در موفقیت کسب و کار در زمینه‌های مختلف تولیدی و خدماتی بسیار ارزشمند است. لذا در این پژوهش جهت ارزیابی عملکرد سیستم‌های تهويه رویکرد تحلیل دسترس پذیری را بر گزیده ایم چرا که علاوه بر تعیین مدت

<sup>1</sup> Barabady<sup>2</sup> Kumar

زمان در دسترس بودن سیستم‌های تهویه در طول مدت بهره برداری امکان انجام تحلیل‌های بیشتر در خصوص قابلیت اطمینان ذاتی تجهیز، توان پاسخ‌گویی کارگاه تعمیراتی، میزان نیاز به قطعات یدکی و استخدام پرسنل تعمیراتی مورد نیاز قابل انجام می‌باشد. همانگونه که اشاره شد سیستم تهویه قطارهای DC سیستمی بحرانی تلقی می‌گردد. عملکرد بالای این بخش از طریق قطعاتی با قابلیت اطمینان بالا و نگهداری و تعمیرات مناسب قابل دستیابی است. یکی از شاخصه‌هایی که به شکل گسترده در ارزیابی عملکرد مورد استفاده قرار می‌گیرد، دسترس پذیری است که تابع ای از قابلیت اطمینان و نگهداشت پذیری است. در حقیقت این شاخص نسبت زمان فعال تجهیز به کل زمان بهره برداری از آن می‌باشد (راج<sup>۱</sup> و همکاران، ۲۰۰۰).

### بررسی ارتباطات درونی واحد تصمیم‌گیری

در این تحقیق، برای اندازه گیری قابلیت اطمینان از شاخص اولین زمان خرابی، برای نگهداشت پذیری از شاخص مدت زمان تا تعمیر خواهیم کرد. همان طور که در شکل ۵ قابل مشاهده است در زیر سیستم SIV، شاخص مدت زمان تا تعمیر ( $X_{11}$ ) و شاخص اولین زمان خرابی ( $X_{12}$ ) ورودی‌های سیستم و دسترس پذیری ( $Z_1$ ) خروجی سیستم می‌باشد. در زیر سیستم PLC، شاخص مدت زمان تا تعمیر ( $X_{21}$ )، شاخص اولین زمان خرابی ( $X_{22}$ ) و دسترس پذیری ( $Z_1$ ) ورودی‌های زیر سیستم بوده و خروجی زیر سیستم دسترس پذیری ( $Z_2$ ) می‌باشد. در زیر سیستم UNIT، شاخص مدت زمان تا تعمیر ( $X_{31}$ ) و شاخص اولین زمان خرابی ( $X_{32}$ ) و دسترس پذیری ( $Z_2$ ) ورودی‌های زیر سیستم پذیری ( $Y$ ) می‌باشد. دلیل چنین پیکر بندی برابر خروجی سیستم نیز می‌باشد دسترس پذیری UNIT می‌باشد. در زیر سیستم SIV شاخص مدت زمان تا خرابی و شاخص مدت زمان تعمیر ورودی‌های زیر سیستم می‌باشد که معیاری جهت تعیین دسترس پذیری این زیرسیستم می‌باشد. بدیهی است به عنوان مثال پایین بودن دسترس پذیری SIV سبب تنزل عملکردی زیر سیستم بعدی (PLC) است

<sup>۱</sup> Raje

لذا این شاخص به عنوان شاخص ورودی PLC در نظر گرفته شده است. در این پژوهش ارزیابی دسترس پذیری سیستم تهویه بدون در نظر گرفتن خرابی‌های دوران نوزادی و یا خرابی‌هایی که عموماً در زمان آغاز بھربرداری از سیستم‌ها خود را نشان می‌دهند، انجام گرفته است. مرجع اطلاعات جمع‌آوری شده برای این تحقیق حکم کارهای نگهداری و تعمیرات در خصوص اقدامات پیشگیرانه یا اضطراری از نیمه دوم سال ۱۳۸۵ تا انتهای سال ۱۳۸۸ می‌باشد. در خصوص مواردی که رکوردي در شرکت وجود نداشته از نظر خبرگان شرکت استفاده شده و مراحل آماده‌سازی اطلاعات و تحلیل‌ها نیز در این تحقیق به تایید خبرگان شرکت رسیده است. از جمله مهمترین موانع انجام پژوهش‌هایی از این دست نحوه مدیریت داده‌های میدانی است به عنوان مثال داده‌های سانسور شده است، به این معنی که به سبب قابلیت اطمینان بالای تجهیزات استفاده شده در صنعت مترو مشاهده خرابی همه واحد‌های مشابه در طول بازه پایش سیستم مقدور نیست و قاعده‌تا جهت انجام محاسبات می‌بایست اصول کار با داده‌های سانسور شده را مد نظر داشت که در طول این پژوهش مورد توجه قرار گرفت و البته به سبب عدم وجود مجال کافی جهت بحث و بررسی پیرامون آن کمتر مورد توجه قرار گرفت. سایر چالش‌های کار با داده‌های میدانی از جمله فقدان وجود داده در برخی از زمینه‌ها، خطاهای اندازه‌گیری و ثبت و... درخور تأمل و توجه است. نکته مهم و البته بسیار مهم در انجام پژوهش‌هایی از این دست وجود بانک اطلاعاتی از تجهیزات است که البته هوشمندانه و در جهت انجام تحلیل‌های مورد نظر شکل گرفته باشند. متخصصان امر اذعان دارند که انجام تحلیل‌های مبتنی بر قابلیت اطمینان نیازمند در دسترس بودن داده‌های میدانی مناسب است که کمتر در کشور ما مورد توجه بوده است. چالش عمده‌ای که در این پژوهش فارویی پژوهشگران بوده احصاء اطلاعات ضروری از میان حکم کارهای روزانه نگهداری و تعمیرات بود که البته گاهی با بی‌دقیقی توسط اپراتورها و یا پرسنل تعمیراتی تکمیل شده بود. علی‌رغم همکاری صمیمانه مدیریت شرکت واگن سازی پارس در این زمینه جمع‌آوری داده‌های میدانی چالش عمده این پژوهش بود. مقادیر شاخص‌ها از رویکرد زیر محاسبه شده است:

- ۱) شاخص مدت زمان تا خرابی (TTFF) ما به تفاوت تاریخ رویدادن اولین خرابی تا تاریخ شروع بهره برداری بر حسب روز می‌باشد. شایان ذکر است TTFF ها از زمان‌های مربوط به تعمیرات اضطراری استخراج شده اند و کلیه توقفات واسطه انجام نگهداری و تعمیرات پیشگیرانه و اصلاحی در نظر گرفته نشده‌اند.
- ۲) شاخص مدت زمان تا تعمیر (TTR) را مدت زمان طول کشیدن اولین تعمیر تجهیز بر حسب دقیقه قرار داده ایم. TTR شامل زمان مورد نیاز جهت تشخیص خرابی و عیب یابی، زمان مورد نیاز جهت تامین قطعه و تجهیزات و در نهایت زمان تعمیر است.
- ۳) جهت استخراج شاخص دسترس پذیری از داده‌ها، مدت زمان کار کردن دستگاه را از مجموع خرابی‌های اضطراری و پیشگیرانه کم کرده و سپس عدد حاصل را بر زمان کار کرد دستگاه تقسیم نموده ایم.

جدول ۶: داده‌های شاخص‌ها

P	SIV			PLC			UNIT		
	DMU	TTFF	TTR	Availability	TTFF	TTR	Availability	TTFF	TTR
1.0.1	۵۹۲	۱۲۰	.۰/۹۹۶۰۲۲	۱۳۷	۱۱۰	.۰/۹۹۶۶۹۲	۱۵۷	۱۶۰	.۰/۹۹۸۳۱۶
1.0.2	۵۹۵	۱۹۰	.۰/۹۹۷۵۰۱	۱۲۹	۶۰	.۰/۹۹۷۵۷۳	۱۲۹	۱۰۰	.۰/۹۹۹۳۷۶
1.0.۳	۹۳۶	۶۳۰	.۰/۹۹۷۱۱۱	۱۶۸	۱۳۰	.۰/۹۹۸۰۲۲	۱۹۱	۱۰۰	.۰/۹۹۸۱۹۸۳
1.0.۴	۶۰۱	۱۹۰	.۰/۹۹۸۱۹۰۲	۱۱۰/۰	۱۳۵	.۰/۹۹۹۱۲۶	۹۰۶	۶۰	.۰/۹۹۸۱۷۹۱
1.0.۵	۹۵۹	۱۱۰	.۰/۹۹۸۷۷۷۷	۹۵۹	۱۱۰	.۰/۹۹۸۱۱۱۷	۱۰۹/۰	۱۱۲/۰	.۰/۹۹۸۱۹۸۹
1.0.۶	۱۰۱۲	۶۰	.۰/۹۹۷۷۲۵۲	۱۱۰/۰	۱۰۰	.۰/۹۹۷۷۰۵۱	۱۲۱۲	۱۰۰	.۰/۹۹۹۳۱۲
1.0.۷	۱۲۵۹	۹۵	.۰/۹۹۸۱۱۵۷	۱۴۲/۰	۳۶۰	.۰/۹۹۸۱۱۳۲	۲۲۱	۶۰۰	.۰/۹۹۸۱۵۷۴
1.0.۸	۱۲۰۱	۷۵	.۰/۹۹۷۹۳۱	۱۲۰۱	۷۵	.۰/۹۹۸۱۰۳	۷۵۶	۲۶۰	.۰/۹۹۸۱۶۱
1.0.۹	۱۱۹۱	۱۲۰	.۰/۹۹۸۱۴	۱۱۹۱	۱۰۰	.۰/۹۹۸۱۲۱۲	۱۱۹۱	۱۰۰	.۰/۹۹۸۱۱۵۷
1.1.۰	۱۰۱۲	۱۹۰	.۰/۹۹۸۱۱۷۹	۱۱۰/۰	۱۳۵	.۰/۹۹۸۱۱۶	۱۰۵۳	۱۰۰	.۰/۹۹۸۱۰۴۲
1.1.۱	۶۱۰	۱۲۰	.۰/۹۹۹۵۴۶	۱۱۰۲	۱۰۰	.۰/۹۹۹۵۴۹	۱۰۵۷	۳۰۰	.۰/۹۹۸۱۲۳
1.1.۲	۱۰۷ۯ	۳۰	.۰/۹۹۸۱۴	۱۱۰/۰	۱۳۵	.۰/۹۹۸۱۱۱۷	۱۰۹/۰	۱۱۲/۰	.۰/۹۹۸۱۰۲۳
1.1.۳	۱۰۱۷	۹۰	.۰/۹۹۷۴۲۲	۱۱۰۳	۹۷/۰	.۰/۹۹۷۱۲۶	۷۳۷	۱۰۰	.۰/۹۹۸۱۹۷۱
1.1.۴	۱۰۹۲	۵۲۰	.۰/۹۹۹۱۱۱	۱۱۰۳	۹۷/۰	.۰/۹۹۹۱۱۰	۳۰۱	۴۲۰	.۰/۹۹۸۱۷۲۳
1.1.۵	۱۳۱۶	۶۳۰	.۰/۹۹۶۲۷۳	۱۱۰۳	۹۷/۰	.۰/۹۹۶۱۳۲	۷۵۶	۲۶۰	.۰/۹۹۸۰۷۱
1.1.۶	۷۷۹	۲۷۰	.۰/۹۹۶۳۱	۱۱۰۳	۹۷/۰	.۰/۹۹۷۲۲۷	۷۵۶	۲۶	.۰/۹۹۸۰۵۱۰
1.1.۷	۱۲۵۷	۱۱۰	.۰/۹۹۹۴۷۹	۱۲۰۷	۵۰	.۰/۹۹۹۳۵۷	۷۵۶	۲۶	.۰/۹۹۹۰۵۹
1.2.۰	۱۱۱۰	۶۰	.۰/۹۹۷۷۰۱	۱۱۰۳	۹۷/۰	.۰/۹۹۸۱۱۰	۷۵۶	۲۶	.۰/۹۹۸۱۰

۲۰۱	۵۲۷	۱۰۰	۰/۹۹۳۹۸۶	۳۷۱	۱۲۰	۰/۹۹۸۲۹۳	۳۱۳	۲۶	۰/۹۹۶۰۱۱
۲۰۳	۱۲۱	۳۱۷/۵	۰/۹۹۷۰۷۵	۱۲۱	۱۳۵	۰/۹۹۷۳۱۲	۱۱۸	۶۰	۰/۹۹۱۸۷۴
۲۰۴	۹۳۶	۱۲۰	۰/۹۹۰۵۴۶	۵۳۱	۶۱۵	۰/۹۹۶۰۱	۹۷۲	۲۱۰	۰/۹۹۱۸۳۹
۲۰۵	۱۳۹۲	۱۲۰	۰/۹۹۱۲۷۴	۱۶۱	۱۲۰	۰/۹۹۱۰۵۷	۱۳۳۴	۲۴۰	۰/۹۹۱۲۴۲
۲۰۷	۱۶۱۷	۶۰۰	۰/۹۹۹۳۵۹	۱۸۲/۰	۳۶۰	۰/۹۹۹۵۱۶	۱۰۶۳	۵۱۰	۰/۹۹۱۱۱۱
۲۰۸	۱۰۵۰	۹۰	۰/۹۹۱۹۱	۱۸۲/۰	۳۶۰	۰/۹۹۱۸۰۲	۱۰۲۱	۱۵۰	۰/۹۹۱۲۷۱
۲۰۹	۱۰۶۲	۵۸۰	۰/۹۹۷۹۳۲	۱۸۲/۰	۵۱۰	۰/۹۹۱۱۱۵	۵۱۷	۶۰	۰/۹۹۱۰۱۱
۲۱۱	۱۱۲۳	۱۲۰	۰/۹۹۱۰۳۱	۱۸۲/۰	۳۶۰	۰/۹۹۱۳۶۱	۱۶۲/۰	۳۳۲/۰	۰/۹۹۹۱۷۴
۲۱۲	۵۱۱	۶۰	۰/۹۹۶۲۲۲	۱۸۲/۰	۳۶۱	۰/۹۹۱۱۳۹	۵	۲۷۰	۰/۹۹۶۶۷۹
۲۱۳	۵۹۲	۳۰	۰/۹۹۴۱۲۴	۱۸۲/۰	۳۶۲	۰/۹۹۱۰۰۹	۵۹۲	۳۰	۰/۹۹۱۸۷۶
۲۱۵	۵۵۱	۱۲۰	۰/۹۹۰۴۷۹	۱۸۲/۰	۳۶۳	۰/۹۹۱۱۷۰	۳۷۷	۵۵	۰/۹۹۷۱۱۶
۲۱۶	۵۱۱	۲۱۰	۰/۹۹۴۴۴۴	۱۸۲/۰	۳۶۴	۰/۹۹۹۴۸۱	۳۷۷	۵۵	۰/۹۹۱۱۳۷
۲۱۷	۵۶۲	۷۵	۰/۹۹۰۰۷۵	۱۸۲/۰	۳۶۵	۰/۹۹۱۱۴۴	۳۷۷	۵۵	۰/۹۹۱۰۹۱
۲۱۸	۵۱۱	۵۵	۰/۹۹۰۴۱۱	۱۸۲/۰	۳۶۶	۰/۹۹۹۶۹۱	۳۷۷	۵۵	۰/۹۹۹۴۰۳
۲۱۹	۵۶۱	۱۰۰	۰/۹۹۴۱۹۹	۱۸۲/۰	۳۶۷	۰/۹۹۱۱۱۲	۳۷۷	۵۵	۰/۹۹۱۴۰۵
۲۲۱	۲۴۴	۳۰	۰/۹۹۱۰۹۹	۱۸۲/۰	۳۶۸	۰/۹۹۹۹۲۲	۳۷۷	۵۵	۰/۹۹۹۱۶۱
۲۲۲	۵۹۰	۲۴۰	۰/۹۹۱۰۹۱	۱۸۲/۰	۳۶۹	۰/۹۹۹۷۵۰	۳۷۷	۵۵	۰/۹۹۹۱۱۵

### نتایج

کران بالا و پایین سیستم تهویه به ترتیب با اعمال مدل (۸) و (۱۲)، محاسبه می‌گردد. جدول ۷ مقادیر کارائی سیستم تهویه و زیر سیستم‌های آن را برای مقادیر مختلف آلفا نشان می‌دهد. در این جدول، S بیانگر کارائی سیستم تهویه، P<sub>1</sub> تا P<sub>3</sub> هم به ترتیب بیانگر کارائی PLC، SIV و UNIT‌ها می‌باشد.

**جدول ۷: کارائی سیستم تهویه و اعضا برای آلفاها م مختلف**

$\alpha = 1$		$\alpha = 0.1$		$\alpha = 0.5$		$\alpha = 0$		چارچوب ترکیبی عضو	DM U
بالا	پایین	بالا	پایین	بالا	پایین	بالا	پایین		
۰/۹۹۱۳	۰/۹۹۱۳	۰/۹۹۱۳	۰/۹۹۱۳	۰/۷۲۸۸	۰/۹۹۱۷	۰/۵۱۷۸	۱/۰۰۰۰	۰/۲۷۹۵	۱۰۱
۱/۰۰۰۰	۱/۰۰۰۰	۱/۰۰۰۰	۰/۷۳۶۱	۱/۰۰۰۰	۰/۵۲۷۸	۱/۰۰۰۰	۰/۲۲۳۳	P,	
۰/۹۹۵۱	۰/۹۹۵۱	۱/۰۰۰۰	۰/۹۹۰۵	۱/۰۰۰۰	۰/۹۸۱۹	۱/۰۰۰۰	۰/۲۸۶۷	P <sub>r</sub>	
۰/۹۹۶۱	۰/۹۹۶۱	۰/۹۹۱۳	۰/۹۹۲۱	۰/۹۹۱۷	۰/۹۸۳۲	۱/۰۰۰۰	۰/۹۵۸۵	P <sub>r</sub>	
۰/۹۹۵۷	۰/۹۹۵۷	۰/۹۹۷۸	۰/۱۳۰	۰/۹۹۱۱	۰/۵۵۷۸	۱/۰۰۰۰	۰/۲۷۹۶	S	۱۰۲
۰/۱۹۷۱	۰/۱۹۷۱	۱/۰۰۰۰	۰/۶۲۵۹	۱/۰۰۰۰	۰/۴۲۱۱	۱/۰۰۰۰	۰/۲۲۲۶	P,	
۱/۰۰۰۰	۱/۰۰۰۰	۱/۰۰۰۰	۰/۱۸۲۲	۱/۰۰۰۰	۰/۵۶۵۱	۱/۰۰۰۰	۰/۲۸۶۷	P <sub>r</sub>	
۰/۹۹۶۷	۰/۹۹۶۷	۰/۹۹۷۸	۰/۹۹۳۲	۰/۹۹۱۱	۰/۹۷۹۳	۱/۰۰۰۰	۰/۹۵۸۵	P <sub>r</sub>	
۰/۹۸۱۹	۰/۹۸۱۹	۰/۹۹۱۵	۰/۵۱۹۷	۰/۹۹۱۰	۰/۴۶۳۹	۱/۰۰۰۰	۰/۲۷۹۵	S	۱۰۳
۰/۳۹۱۵	۰/۳۹۱۵	۰/۶۵۱۹	۰/۳۵۹۳	۱/۰۰۰۰	۰/۳۱۷۵	۱/۰۰۰۰	۰/۲۲۲۱	P,	
۰/۶۹۱۶	۰/۶۹۱۶	۱/۰۰۰۰	۰/۵۹۱۹	۱/۰۰۰۰	۰/۴۷۸۲	۱/۰۰۰۰	۰/۲۸۶۷	P <sub>r</sub>	
۰/۹۹۲۷	۰/۹۹۲۷	۰/۹۹۶۱	۰/۹۱۱۲	۰/۹۹۱۰	۰/۹۱۵۱	۱/۰۰۰۰	۰/۹۵۸۵	P <sub>r</sub>	

۰/۹۸۵۷	۰/۹۸۵۷	۰/۹۹۵۰	۰/۹۹۰۸	۰/۹۹۷۳	۰/۰۵۹۸	۱/۰۰۰۰	۰/۳۳۸۹	S	۱۰۴
۰/۷۷۵۹	۰/۷۷۵۹	۱/۰۰۰۰	۰/۹۰۷۴	۱/۰۰۰۰	۰/۰۷۱۶	۱/۰۰۰۰	۰/۳۷۰۵	P,	
۰/۹۰۰۹	۰/۹۰۰۹	۰/۹۹۱۹	۰/۹۲۹۴	۱/۰۰۰۰	۰/۹۱۰۷	۱/۰۰۰۰	۰/۹۶۳۲	P, P <sub>r</sub>	
۰/۹۹۷۱	۰/۹۹۷۱	۰/۹۹۵۱	۰/۷۰۶۳	۰/۹۹۷۳	۰/۹۱۱۶	۱/۰۰۰۰	۰/۹۶۱۰	P <sub>r</sub>	
۰/۵۹۷۱	۰/۵۹۷۱	۰/۹۷۹۰	۰/۹۸۱۵	۰/۹۹۷۷	۰/۴۱۱۵	۱/۰۰۰۰	۰/۲۷۹۷	S	۱۰۵
۰/۹۰۱۰	۰/۹۰۱۰	۰/۹۸۱۰	۰/۹۰۹۷	۱/۰۰۰۰	۰/۳۶۸۷	۱/۰۰۰۰	۰/۲۲۹۰	P,	
۰/۹۸۱۱	۰/۹۸۱۱	۰/۹۹۱۳	۰/۵۰۳۱	۱/۰۰۰۰	۰/۴۲۶۲	۱/۰۰۰۰	۰/۲۱۷۸	P, P <sub>r</sub>	
۰/۹۸۱۹	۰/۹۸۱۹	۰/۹۹۵۲	۰/۹۱۷۵	۰/۹۹۷۷	۰/۹۷۲۷	۱/۰۰۰۰	۰/۹۰۵۲	P <sub>r</sub>	
۰/۱۰۱۱	۰/۱۰۱۱	۰/۹۹۵۲	۰/۹۶۰۰	۰/۹۹۵۱	۰/۹۷۹۰	۱/۰۰۰۰	۰/۲۱۰۷	S	۱۰۶
۰/۱۸۲۱	۰/۱۸۲۱	۱/۰۰۰۰	۰/۹۶۷۱	۱/۰۰۰۰	۰/۹۹۹۰	۱/۰۰۰۰	۰/۲۱۱۳	P,	
۰/۹۹۳۵	۰/۹۹۳۵	۰/۹۹۹۷	۰/۹۱۰۰	۱/۰۰۰۰	۰/۹۱۹۹	۱/۰۰۰۰	۰/۲۱۵۹	P, P <sub>r</sub>	
۰/۹۸۱۱	۰/۹۸۱۱	۰/۹۹۲۱	۰/۹۱۵۰	۰/۹۹۵۱	۰/۹۱۵۱	۱/۰۰۰۰	۰/۹۵۸۰	P <sub>r</sub>	
۰/۹۹۰۲	۰/۹۹۰۲	۰/۹۹۹۳	۰/۹۰۶۶	۱/۰۰۰۰	۰/۳۷۰۹	۱/۰۰۰۰	۰/۲۷۹۷	S	۱۰۷
۰/۱۱۱۰	۰/۱۱۱۰	۱/۰۰۰۰	۰/۹۱۰۴	۱/۰۰۰۰	۰/۳۱۰۴	۱/۰۰۰۰	۰/۱۹۰۴	P,	
۰/۷۱۵۳	۰/۷۱۵۳	۰/۹۹۹۳	۰/۹۰۳۴	۱/۰۰۰۰	۰/۳۵۹۳	۱/۰۰۰۰	۰/۲۹۰۱	P, P <sub>r</sub>	
۱/۰۰۰۰	۱/۰۰۰۰	۱/۰۰۰۰	۰/۹۲۰۱	۱/۰۰۰۰	۰/۹۰۵۲	۱/۰۰۰۰	۰/۹۳۰۸	P <sub>r</sub>	
۰/۷۰۵۰	۰/۷۰۵۰	۰/۹۹۹۷	۰/۹۷۲۶	۰/۹۹۹۹	۰/۵۱۱۵	۱/۰۰۰۰	۰/۳۷۱۳	S	۱۰۸
۰/۷۰۲۲	۰/۷۰۲۲	۱/۰۰۰۰	۰/۹۱۹۰	۱/۰۰۰۰	۰/۳۷۱۵	۱/۰۰۰۰	۰/۲۲۶۳	P,	
۰/۷۶۰۲	۰/۷۶۰۲	۱/۰۰۰۰	۰/۹۸۱۲۱	۱/۰۰۰۰	۰/۹۰۰۱	۱/۰۰۰۰	۰/۳۱۹۵	P, P <sub>r</sub>	
۰/۹۹۲۷	۰/۹۹۲۷	۰/۹۹۸۷	۰/۹۱۹۱	۰/۹۹۹۹	۰/۹۱۰۸	۱/۰۰۰۰	۰/۹۵۸۰	P <sub>r</sub>	
۰/۹۰۰۵	۰/۹۰۰۵	۰/۹۳۷۹	۰/۹۱۷۹	۰/۹۹۱۸	۰/۰۵۳۳	۱/۰۰۰۰	۰/۳۷۱۳	S	۱۰۹

۰/۹۸۰۹	۰/۹۸۰۹	۰/۹۸۰۵	۰/۹۸۱۱۵	۱/۰۰۰۰	۰/۳۴۹۸۱	۱/۰۰۰۰	۰/۲۲۶۳	P,	
۰/۹۸۱۴۹	۰/۹۸۱۴۹	۰/۹۹۱۹	۰/۹۸۲۸۶	۱/۰۰۰۰	۰/۵۶۵۰	۱/۰۰۰۰	۰/۳۱۹۸	P,	
۰/۹۸۱۷۶	۰/۹۸۱۷۶	۰/۹۹۱۰	۰/۹۸۱۸۸	۰/۹۹۱۸	۰/۹۸۰۰	۱/۰۰۰۰	۰/۹۸۰۰	P,	
۰/۹۸۰۰۳	۰/۹۸۰۰۳	۰/۱۱۲۶	۰/۵۳۷۸	۰/۹۹۶۸	۰/۴۴۵۸	۱/۰۰۰۰	۰/۲۷۹۵	S	
۰/۵۸۲۵	۰/۵۸۲۵	۰/۱۱۱۲	۰/۹۸۱۸۰	۱/۰۰۰۰	۰/۳۴۵۸	۱/۰۰۰۰	۰/۲۲۲۶	P,	
۰/۹۸۰۹۹	۰/۹۸۰۹۹	۰/۹۹۱۷	۰/۵۸۰۷	۱/۰۰۰۰	۰/۴۵۴۳	۱/۰۰۰۰	۰/۲۱۸۹	P,	۱۱۰
۰/۹۸۱۷۱	۰/۹۸۱۷۱	۰/۹۹۲۷	۰/۹۸۱۳۲	۰/۹۹۶۸	۰/۹۸۳۹	۱/۰۰۰۰	۰/۹۵۸۰	P,	
۰/۱۰۵۱۵	۰/۱۰۵۱۵	۰/۹۹۱۶	۰/۹۸۰۳	۰/۹۹۷۳	۰/۵۶۲۳	۱/۰۰۰۰	۰/۳۷۱۳	S	
۰/۱۱۷۰۶	۰/۱۱۷۰۶	۱/۰۰۰۰	۰/۵۷۱۹	۱/۰۰۰۰	۰/۴۰۷۸	۱/۰۰۰۰	۰/۲۲۵۶	P,	
۰/۹۹۳۳۳	۰/۹۹۳۳۳	۰/۹۹۹۱	۰/۹۸۹۹	۱/۰۰۰۰	۰/۵۷۳۸	۱/۰۰۰۰	۰/۳۹۰۷	P,	۱۱۱
۰/۹۸۱۷۹	۰/۹۸۱۷۹	۰/۹۹۲۵	۰/۹۸۱۳۰	۰/۹۹۷۳	۰/۹۸۱۱	۱/۰۰۰۰	۰/۹۶۱۳	P,	
۰/۹۸۱۸۸	۰/۹۸۱۸۸	۰/۹۹۲۶	۰/۹۸۳۳۳	۰/۹۹۶۸	۰/۹۳۰۳	۱/۰۰۰۰	۰/۳۴۶۰	S	
۱/۰۰۰۰	۱/۰۰۰۰	۱/۰۰۰۰	۰/۹۸۲۰	۱/۰۰۰۰	۰/۶۴۷۷	۱/۰۰۰۰	۰/۳۵۲۹	P,	
۰/۹۹۲۳	۰/۹۹۲۳	۰/۹۹۱۵	۰/۹۹۰۶	۱/۰۰۰۰	۰/۹۸۱۲۸	۱/۰۰۰۰	۰/۹۶۳۰	P,	۱۱۲
۰/۹۹۲۲	۰/۹۹۲۲	۰/۹۹۱۱	۰/۹۹۰۱	۰/۹۹۶۶	۰/۹۸۰۲	۱/۰۰۰۰	۰/۹۶۲۵	P,	
۰/۹۸۱۷۲	۰/۹۸۱۷۲	۰/۹۸۱۷	۰/۹۸۳۸۱	۱/۰۰۰۰	۰/۵۶۰۸	۱/۰۰۰۰	۰/۳۷۱۵	S	
۰/۹۸۹۱	۰/۹۸۹۱	۰/۹۸۰۷	۰/۹۸۰۷	۰/۹۸۹۱	۰/۳۶۲۸	۱/۰۰۰۰	۰/۲۲۹۱	P,	
۰/۹۹۲۲	۰/۹۹۲۲	۰/۹۹۹۶	۰/۹۸۲۰	۱/۰۰۰۰	۰/۵۷۱۸	۱/۰۰۰۰	۰/۳۱۹۸	P,	۱۱۳
۰/۹۹۰۸	۰/۹۹۰۸	۰/۹۹۷۷	۰/۹۹۱۳	۱/۰۰۰۰	۰/۹۸۱۳	۱/۰۰۰۰	۰/۹۶۸۰	P,	
۰/۹۰۴۴	۰/۹۰۴۴	۰/۹۱۷۸	۰/۹۸۳۵	۰/۹۹۷۵	۰/۵۵۹۱	۱/۰۰۰۰	۰/۳۷۱۵	S	
۰/۹۰۶۰	۰/۹۰۶۰	۰/۹۸۲۱۰	۰/۳۷۱۹	۰/۱۰۹۳	۰/۳۲۷۹	۱/۰۰۰۰	۰/۲۲۹۱	P,	۱۱۴

۰/۷۵۸۱	۰/۷۵۸۱	۰/۹۲۰۴	۰/۶۴۳۱	۱/۰۰۰۰	۰/۵۷۲۲	۱/۰۰۰۰	۰/۳۱۹۴	P <sub>r</sub>	
۰/۹۱۷۰	۰/۹۱۷۰	۰/۹۹۱۵	۰/۹۱۹۷	۱/۰۰۰۰	۰/۹۱۱۵	۱/۰۰۰۰	۰/۹۶۴۰	P <sub>r</sub>	
۰/۶۷۰۲	۰/۶۷۰۲	۰/۹۱۰۱	۰/۶۳۰۰	۱/۰۰۰۰	۰/۵۵۱۱	۱/۰۰۰۰	۰/۳۱۸۳	S	
۰/۳۱۴۶	۰/۳۱۴۶	۰/۵۴۲۱	۰/۳۰۴۰	۱/۰۰۰۰	۰/۲۸۱۳	۱/۰۰۰۰	۰/۲۲۶۴	P <sub>r</sub>	
۰/۶۱۰۴	۰/۶۱۰۴	۰/۹۱۸۶	۰/۶۸۱۹	۱/۰۰۰۰	۰/۵۷۱۵	۱/۰۰۰۰	۰/۳۱۹۴	P <sub>r</sub>	
۰/۹۹۴۴	۰/۹۹۴۴	۰/۹۹۱۵	۰/۹۱۹۶	۱/۰۰۰۰	۰/۹۱۰۴	۱/۰۰۰۰	۰/۹۶۴۰	P <sub>r</sub>	
۰/۶۷۵۳	۰/۶۷۵۳	۰/۹۶۲۵	۰/۶۳۳۹	۰/۹۹۹۶	۰/۵۶۰۵	۱/۰۰۰۰	۰/۳۱۸۷	S	
۰/۵۱۶۴	۰/۵۱۶۴	۰/۹۶۵۱	۰/۹۱۹۱	۱/۰۰۰۰	۰/۳۱۶۲	۱/۰۰۰۰	۰/۲۳۶۳	P <sub>r</sub>	
۰/۶۱۰۷	۰/۶۱۰۷	۰/۹۹۹۷	۰/۶۸۱۷	۱/۰۰۰۰	۰/۵۷۱۷	۱/۰۰۰۰	۰/۳۱۹۴	P <sub>r</sub>	
۰/۹۹۱۴	۰/۹۹۱۴	۰/۹۹۶۰	۰/۹۱۱۵	۰/۹۹۹۶	۰/۹۱۹۴	۱/۰۰۰۰	۰/۹۶۴۱	P <sub>r</sub>	
۰/۹۱۰۵	۰/۹۱۰۵	۰/۹۹۳۶	۰/۱۹۲۷	۰/۹۹۹۷	۰/۶۳۶۱	۱/۰۰۰۰	۰/۳۱۹۱	S	
۰/۴۲۷۴	۰/۴۲۷۴	۰/۱۲۱۰	۰/۴۰۵۰	۱/۰۰۰۰	۰/۳۱۵۰	۱/۰۰۰۰	۰/۲۱۰۷	P <sub>r</sub>	
۱/۰۰۰۰	۱/۰۰۰۰	۱/۰۰۰۰	۰/۹۰۱۷	۱/۰۰۰۰	۰/۶۰۰۳	۱/۰۰۰۰	۰/۳۱۹۷	P <sub>r</sub>	
۰/۹۹۳۷	۰/۹۹۳۷	۰/۹۹۶۲	۰/۹۹۱۱	۰/۹۹۹۷	۰/۹۱۱۱	۱/۰۰۰۰	۰/۹۶۴۴	P <sub>r</sub>	
۰/۱۳۹۰	۰/۱۳۹۰	۰/۹۹۰۴	۰/۶۴۲۶	۰/۹۹۹۸	۰/۵۶۱۳	۱/۰۰۰۰	۰/۳۱۹۱	S	
۰/۱۴۹۴	۰/۱۴۹۴	۱/۰۰۰۰	۰/۶۸۱۰	۱/۰۰۰۰	۰/۴۱۰۱	۱/۰۰۰۰	۰/۲۱۱۶	P <sub>r</sub>	
۰/۹۹۲۷	۰/۹۹۲۷	۰/۹۹۱۹	۰/۹۱۹۱	۱/۰۰۰۰	۰/۵۷۱۱	۱/۰۰۰۰	۰/۳۱۹۷	P <sub>r</sub>	
۰/۹۹۳۳	۰/۹۹۳۳	۰/۹۹۶۰	۰/۹۱۹۰	۰/۹۹۹۸	۰/۹۱۹۶	۱/۰۰۰۰	۰/۹۶۴۲	P <sub>r</sub>	
۰/۹۹۳۳	۰/۹۹۳۳	۱/۰۰۰۰	۰/۹۹۳۵	۱/۰۰۰۰	۰/۶۰۳۰	۱/۰۰۰۰	۰/۳۱۸۳	S	
۰/۹۰۲۱	۰/۹۰۲۱	۱/۰۰۰۰	۰/۶۴۳۵	۱/۰۰۰۰	۰/۴۲۱۷	۱/۰۰۰۰	۰/۲۲۷۰	P <sub>r</sub>	
۱/۰۰۰۰	۱/۰۰۰۰	۱/۰۰۰۰	۱/۰۰۰۰	۱/۰۰۰۰	۰/۶۱۲۲	۱/۰۰۰۰	۰/۳۶۸۱	P <sub>r</sub>	

۱/۰۰۰۰	۱/۰۰۰۰	۱/۰۰۰۰	۰/۹۹۷۸	۱/۰۰۰۰	۰/۹۸۷۸	۱/۰۰۰۰	۰/۳۸۷۳	P <sub>r</sub>	
۰/۹۸۲۵	۰/۹۸۲۵	۰/۹۹۷۸	۰/۸۱۰۱	۱/۰۰۰۰	۰/۶۲۳۴	۱/۰۰۰۰	۰/۴۲۳۰	S	
۰/۵۳۸۱	۰/۵۳۸۱	۰/۸۱۳۵	۰/۴۹۲۱	۱/۰۰۰۰	۰/۴۳۱۲	۱/۰۰۰۰	۰/۴۳۶۰	P <sub>r</sub>	۲۰۳
۰/۷۰۹۰	۰/۷۰۹۰	۱/۰۰۰۰	۰/۶۱۹۶	۱/۰۰۰۰	۰/۵۱۶۷	۱/۰۰۰۰	۰/۹۵۶۲	P <sub>r</sub>	
۰/۹۹۲۲	۰/۹۹۲۲	۰/۹۹۵۹	۰/۸۱۲۱	۱/۰۰۰۰	۰/۶۳۵۷	۱/۰۰۰۰	۰/۹۷۵۰	P <sub>r</sub>	
۰/۷۷۳۱	۰/۷۷۳۱	۰/۹۹۷۸	۰/۵۸۰۳	۱/۰۰۰۰	۰/۴۰۴۷	۱/۰۰۰۰	۰/۲۱۱۳	S	
۰/۷۳۹۷	۰/۷۳۹۷	۱/۰۰۰۰	۰/۸۱۱۴	۱/۰۰۰۰	۰/۴۷۷۹	۱/۰۰۰۰	۰/۲۳۰۵	P <sub>r</sub>	۲۰۴
۰/۹۹۱۳	۰/۹۹۱۳	۱/۰۰۰۰	۰/۵۰۱۳	۱/۰۰۰۰	۰/۴۱۳۳	۱/۰۰۰۰	۰/۲۹۰۱	P <sub>r</sub>	
۰/۹۹۲۷	۰/۹۹۲۷	۰/۹۹۷۸	۰/۹۸۰۷	۱/۰۰۰۰	۰/۹۶۵۷	۱/۰۰۰۰	۰/۹۷۰۶	P <sub>r</sub>	
۰/۷۱۴۴	۰/۷۱۴۴	۰/۹۸۹۸	۰/۴۸۰۱	۰/۹۹۱۷	۰/۴۴۲۳	۱/۰۰۰۰	۰/۲۷۹۷	S	
۰/۵۱۰۷	۰/۵۱۰۷	۰/۸۱۲۰	۰/۳۹۱۰	۱/۰۰۰۰	۰/۲۹۳۷	۱/۰۰۰۰	۰/۱۹۰۴	P <sub>r</sub>	۲۰۵
۰/۷۲۱۲	۰/۷۲۱۲	۱/۰۰۰۰	۰/۴۰۸۱	۱/۰۰۰۰	۰/۴۵۰۷	۱/۰۰۰۰	۰/۲۹۰۱	P <sub>r</sub>	
۰/۹۱۴۰	۰/۹۱۴۰	۰/۹۹۲۲	۰/۹۱۲۲	۰/۹۹۱۷	۰/۴۵۸۷	۱/۰۰۰۰	۰/۹۳۵۶	P <sub>r</sub>	
۰/۴۴۳۱	۰/۴۴۳۱	۰/۷۱۷۹	۰/۳۹۱۰	۰/۹۹۷۹	۰/۴۴۴۴	۱/۰۰۰۰	۰/۲۷۹۹	S	
۰/۲۷۷۰	۰/۲۷۷۰	۰/۷۱۷۳	۰/۲۹۰۷	۰/۷۷۶۹	۰/۴۴۱۵	۱/۰۰۰۰	۰/۱۹۰۴	P <sub>r</sub>	
۰/۴۰۵۱	۰/۴۰۵۱	۰/۱۶۰۱	۰/۴۰۱۱	۱/۰۰۰۰	۰/۳۵۵۵	۱/۰۰۰۰	۰/۲۹۰۱	P <sub>r</sub>	۲۰۷
۰/۹۱۷۰	۰/۹۱۷۰	۰/۹۱۱۱	۰/۹۷۷۷	۰/۹۹۱۰	۰/۴۵۲۳	۱/۰۰۰۰	۰/۹۳۷۷	P <sub>r</sub>	
۰/۵۹۰۰	۰/۵۹۰۰	۰/۷۹۴۴	۰/۴۰۸۰	۱/۰۰۰۰	۰/۴۴۶۱	۱/۰۰۰۰	۰/۲۱۱۳	S	
۰/۵۹۰۷	۰/۵۹۰۷	۰/۷۹۷۰	۰/۴۰۹۰	۱/۰۰۰۰	۰/۲۹۰۱	۱/۰۰۰۰	۰/۱۹۷۰	P <sub>r</sub>	۲۰۸
۰/۹۱۷۸	۰/۹۱۷۸	۰/۹۹۷۸	۰/۹۱۱۰	۱/۰۰۰۰	۰/۴۵۵۳	۱/۰۰۰۰	۰/۲۱۹۶	P <sub>r</sub>	
۰/۹۱۷۱	۰/۹۱۷۱	۰/۹۹۳۳	۰/۹۷۱۰	۱/۰۰۰۰	۰/۹۶۲۷	۱/۰۰۰۰	۰/۹۵۲۶	P <sub>r</sub>	

۰/۹۸۱۹	۰/۹۸۱۹	۰/۹۹۱۵	۰/۱۸۷۷	۱/۰۰۰	۰/۳۹۵۷	۱/۰۰۰	۰/۲۸۲۰	S	۲۰۹
۰/۳۱۲۱	۰/۳۱۲۱	۰/۶۴۰۹	۰/۳۵۳۰	۱/۰۰۰	۰/۴۰۰۶	۱/۰۰۰	۰/۲۲۲۲	P,	
۰/۵۷۴۱	۰/۵۷۴۱	۰/۱۲۸۱	۰/۵۲۸۲	۱/۰۰۰	۰/۹۶۱۰	۱/۰۰۰	۰/۲۹۰۰	P,	
۱/۰۰۰	۱/۰۰۰	۱/۰۰۰	۰/۸۶۶۱	۱/۰۰۰	۰/۹۶۶۸	۱/۰۰۰	۰/۹۵۰۳	P,	
۰/۶۶۲۱	۰/۶۶۲۱	۰/۹۵۶۷	۰/۴۲۷۱	۱/۰۰۰	۰/۳۴۶۵	۱/۰۰۰	۰/۲۷۹۹	S	۲۱۱
۰/۶۶۸۷	۰/۶۶۸۷	۰/۹۶۳۱	۰/۴۳۰۶	۱/۰۰۰	۰/۳۱۵۷	۱/۰۰۰	۰/۱۹۰۴	P,	
۰/۹۱۹۰	۰/۹۱۹۰	۰/۹۹۷۰	۰/۹۷۹۵	۱/۰۰۰	۰/۳۵۴۳	۱/۰۰۰	۰/۲۱۹۶	P,	
۰/۹۱۹۲	۰/۹۱۹۲	۰/۹۹۵۶	۰/۹۷۷۱	۱/۰۰۰	۰/۹۵۸۲	۱/۰۰۰	۰/۹۳۹۰	P,	

دو وضعیت وجود دارد که برای بحث های آینده مفید می باشند. این دو وضعیت عبارت اند  $\alpha=0$  و  $\alpha=1$ . در  $\alpha=1$  تنها یک مقدار برای حد بالا و پایین در هر برش آلفا وجود خواهد داشت. در  $\alpha=0$  بازه کارائی های ممکن که می تواند ظاهر شود نشان داده می شود. برای مثال، در حالی که در  $\alpha=1$  بهترین کارائی در سیستم ۲۰۱ (کارائی ۰/۹۹۹۳) حاصل شده است، مقدار آن در  $\alpha=0$ ، بین ۰/۳۷۴۳ تا ۱ در نوسان می کنند.

در برش  $\alpha=1$  قطار ۲۰۷ با کارائی ۰/۴۴۳۸ کمترین کارائی را در بین مابقی سیستم ها دارا می باشد در حالی که در  $\alpha=0$ ، کارائی قطار ۲۰۷ از ۰/۲۷۹۹ تا ۱ در حال نوسان می باشد.

در  $\alpha=1$  زیر سیستم SIV، دو قطار ۱۰۱ و ۱۱۲ کارائی کامل را داشته اند. به عبارت دیگر کمترین نرخ حرابی را بین سایر SIV ها داشته اند. کمترین کارائی هم در قطار ۲۰۷ با مقدار ۰/۲۸ مشاهده شده است. در زیر سیستم PLC، قطارهای ۱۰۲، ۱۱۹ و ۲۰۱ کارائی کامل را داشته اند. کمترین کارائی هم در قطار ۲۰۷ با مقدار ۰/۴۵۴ مشاهده شده است. در زیر سیستم UNIT، قطارهای ۱۰۷، ۲۰۱ و ۲۰۹ کارائی کامل را داشته اند. کمترین کارائی هم در قطار ۱۱۴ با مقدار ۰/۹۱۷ مشاهده شده است. در حالی که در  $\alpha=0$  این مقادیر در حال نوسان بین حد بالا و پایین می باشند.

با توجه به کارائی پایین قطار ۲۰۷ و اختلاف در حد بالا و پایین زیاد، به تصمیم گیرندگان توصیه می‌گردد که نگهداری و تعمیرات، قطعات یدکی و نیروی انسانی را برای قطار ۲۰۷ افزایش دهند. برای مابقی قطارها هم با توجه به میزان کارائی آن‌ها می‌توان تصمیمات مناسب نگهداری و تعمیرات را اعمال نمود.

شایان ذکر قطارهای مورد بررسی در حدود بین ۲ تا ۴ سال فعالیت داشته‌اند. با توجه به ماهیت کارکردی سیستم‌های تهويه که معمولاً بعد گذشت چندین سال خراب می‌شوند، کارائی بالا قطارها کاملاً بدیهی و منطقی می‌باشد.

### نتیجه گیری

رشد پیچیدگی‌های سیستم‌های صنعتی، سرعت جهانی شدن و روند گسترش روز افرون فعالیت‌های اقتصادی در اقصی نقاط جهان، سبب افزایش و سخت تر شدن رقابت میان شرکت‌ها شده است. افزایش رقابت میان شرکت‌ها سبب شده است تا شرکت‌ها تلاش‌های زیادی در جهت بهبود عملکرد خود داشته باشند. فاکتورهایی از قبیل تکنولوژی، تجهیزات، مدیریت، افراد و روش‌ها فاکتورهای اصلی هستند که کارائی و اثر بخشی یک سازمان صنعتی می‌کند به طوری که بهره وری تجهیزات با کارائی کلی سیستم وابسته می‌باشد.

این پژوهش با رویکردی نوآورنده و موضوع محور و در جهت پاسخ به یک نیاز واقعی کارائی سیستم تهويه مترو قطارهای تهران که در آن سه تجهیز به صورت سری به هم متصل شده‌اند را اندازه گیری کرده است. بیشتر مطالعات از DEA ستی جهت ارزیابی کارائی سیستم‌ها استفاده کرده‌اند که به سبب برخورد DEA با سیستم به شکل یک جعبه سیاه که در آن تعدادی ورودی و تعدادی خروجی در نظر گرفته می‌شود، روش مناسبی برای اندازه گیری ساختارهای سری نمی‌باشد.

در این مقاله از مدل تحلیل پوششی داده‌های ارتباطی فازی سه مرحله‌ای جهت ارزیابی سیستم تهويه مترو استفاده کرده‌ایم. نوآوری این تحقیق در ارزیابی سیستم تهويه قطار مترو در موارد

زیر قابل بررسی است. در این مقاله ما از سیستم سری که در آن سه زیر سیستم به صورت سری به هم متصل می باشند استفاده کرده ایم. مزیت این مدل در خطی بودن حد پایین و سه مرحله ای بودن آن می باشد. در ضمن بر خلاف اکثر مقاله ها که از شاخص هایی محسوسی همچون درآمد، هزینه، تعداد مسافر و... استفاده می شود، ما از آنالیز قابلیت اطمینان، قابلیت دسترسی و نگهداری پذیری که از مهمترین شاخص های حوزه نگهداری و تعمیرات هستند، جهت تعیین ورودی ها و خروجی های سیستم تهويه استفاده کرده ایم. در کنار این موارد، مورد کاوی این مسئله برای اولین بار است که در مقالات به چاپ می رسد.

داشتن تخمین های واقعی از کران های بالا و پایین کارایی سیستم های تهويه به مدیریت کمک خواهد کرد تا در خصوص ظرفیت نگهداری و تعمیرات، تامین قطعات یدکی، استخدام نیروی انسانی ماهر و غیره تصمیمات علمی و سنجیده اتخاذ نمایند. برای مثال در برش  $\alpha=1$  قطار ۲۰۷ با کارائی ۴۴۳۸٪ کمترین کارائی را در بین مابقی سیستم ها دارا می باشد در حالی که در  $\alpha=0$ ، کارائی قطار ۲۰۷ از ۲۷۹۹٪ تا ۱ در حال نوسان می باشد. این مطلب کمک به تصمیم سازی برای افزایش نگهداری و تعمیرات، افزاییس قطعات یدکی و نیروی انسانی برای قطار ۲۰۷ می باشد.

مدل های ارائه شده در این تحقیق مستقل از آلفا-برش نیستند و لذا باید برای آلفا برش های مختلف تحلیل شود. برای تحقیقات آینده پیشنهاد می گردد این مدل ها برای حالتی که مستقل از برش آلفا هستند توسعه داده شوند.

**منابع**

- Al-Najjar, B., & Alsyouf, I. (2004). *Enhancing a company's profitability and competitiveness using integrated vibration-based maintenance: A case study*. European Journal of Operational Research, 157(3), 643-657.
- Alsyouf, I. (2006). *Measuring maintenance performance using a balanced scorecard approach*. Journal of Quality in Maintenance Engineering, 12(2), 133-149.
- Arts, R., Knapp, G. M., & Mann Jr, L. (1998). *Some aspects of measuring maintenance performance in the process industry*. Journal of Quality in Maintenance Engineering, 4(1), 6-11.
- Azadeh, A., Ghaderi, S., & Izadbakhsh, H. (2008). *Integration of DEA and AHP with computer simulation for railway system improvement and optimization*. Applied Mathematics and Computation, 195(2), 775-785.
- Barabady, J., & Kumar, U. (2007). *Availability allocation through importance measures*, International Journal OF Quality & Reliability Management, 24(6) 63-657
- Bertolini, M., & Bevilacqua, M. (2006). *A combined goal programming—AHP approach to maintenance selection problem*. Reliability Engineering & System Safety, 91(7), 839-848.
- Bevilacqua, M., & Braglia, M. (2000). *The analytic hierarchy process applied to maintenance strategy selection*. Reliability Engineering & System Safety, 70(1), 71-83.
- Chang, T.-Y., Chung, P.-H., & Hsu, S.-S. (2012). *Two-stage performance model for evaluating the managerial efficiency of higher education: application by the Taiwanese tourism and leisure department*. Journal of Hospitality, Leisure, Sport & Tourism Education, 11(2), 168-177.
- Charnes, A., Cooper, W. W., & Rhodes, E. (1978). *Measuring the efficiency of decision making units*. European Journal of Operational Research, 2(6), 429-444.

- Chen, K., & Guan, J. (2012). *Measuring the efficiency of China's regional innovation systems: application of network data envelopment analysis (DEA)*. Regional Studies, 46(3), 355-377.
- Cullinane, K., Wang, T.-F., Song, D.-W., & Ji, P. (2006). *The technical efficiency of container ports: comparing data envelopment analysis and stochastic frontier analysis*. Transportation Research Part A: Policy and Practice, 40(4), 354-374.
- Dal, B., Tugwell, P., & Greatbanks, R. (2000). *Overall equipment effectiveness as a measure of operational improvement-A practical analysis*. International Journal of Operations & Production Management, 20(12), 1488-1502.
- Du, j., (2008). Evaluation Of equipment Reliability, Availability and Maintainability in an oil sands processing plant. the university of British Columbia.
- Fallah-Fini, S., Triantis, K., Jesus, M., & Seaver, W. L. (2012). *Measuring the efficiency of highway maintenance contracting strategies: A bootstrapped non-parametric meta-frontier approach*. European Journal of Operational Research, 219(1), 134-145.
- Färe, R., & Grosskopf, S., (2000). Network DEA, Socio-Economic Planning Sciences, 34, 35-49.
- Ghotbi, M. R., Monazzam, M. R., Baneshi, M. R., Asadi, M., & Fard, S. M. B. (2012). *Noise pollution survey of a two-storey intersection station in Tehran metropolitan subway system*. Environmental monitoring and assessment, 184(2), 1097-1106.
- Halkos, G. E., Tzeremes, N. G., & Kourtzidis, S. A. (2014). *A unified classification of two-stage DEA models*. Surveys in operations research and management science, 19(1), 1-16.
- Hassannayebi, E., Sajedinejad, A., & Mardani, S. (2014). *Urban rail transit planning using a two-stage simulation-based optimization approach*. Simulation Modelling Practice and Theory, 49, 151-166.
- Hung, S.-W., Lu, W.-M., & Wang, T.-P. (2010). *Benchmarking the operating efficiency of Asia container ports*. European Journal of Operational Research, 203(3), 706-713.

- Jitsuzumi, T., & Nakamura, A. (2010). *Causes of inefficiency in Japanese railways: Application of DEA for managers and policymakers.* Socio-Economic Planning Sciences, 44(3), 161-173.
- Kao, C. (2009). *Efficiency decomposition in network data envelopment analysis: A relational model.* European Journal of Operational Research, 192(3), 949-962.
- Kao, C. (2014). *Network data envelopment analysis: A review.* European Journal of Operational Research, 239(1), 1-16.
- Kao, C., & Hwang, S.-N. (2008). *Efficiency decomposition in two-stage data envelopment analysis: An application to non-life insurance companies in Taiwan.* European Journal of Operational Research, 185(1), 418-429.
- Kao, C., & Hwang, S.-N. (2010). *Efficiency measurement for network systems: IT impact on firm performance.* Decision Support Systems, 48(3), 437-446.
- Kao, C., & Lin, P.-H. (2012). *Efficiency of parallel production systems with fuzzy data.* Fuzzy Sets and Systems, 198, 83-98.
- Kao, C., & Liu, S.-T. (2000). *Fuzzy efficiency measures in data envelopment analysis.* Fuzzy Sets and Systems 113, 427–437.
- Kao, C., & Liu, S.-T. (2011). *Efficiencies of two-stage systems with fuzzy data.* Fuzzy Sets and Systems, 176(1), 20-35.
- Khalili-Damghani K, Taghavifard M (2012) *A three-stage fuzzy DEA approach to measure performance of a serial process including JIT practices, agility indices, and goals in supply chains.* International Journal of Services and Operations Management 13(2), 147–188
- Khalili-Damghani, K., Taghavifard, M. (2013). *Sensitivity and stability analysis in two-stage DEA models with fuzzy data.* International Journal of Operational Research, 17(1), 1-37.
- Khalili-Damghani, K., Taghavifard, M., Abtahi, A.R. (2012). *A fuzzy two-stage DEA approach for performance measurement: real case of agility performance in dairy supply chains.* International Journal of Applied Decision Sciences, 5(4), 293-317.

Khalili-Damghani K, M Tavana . *A new fuzzy network data envelopment analysis model for measuring the performance of agility in supply chains*, The International Journal of Advanced Manufacturing Technology 69 (1-4), 291-318

Khalili-Damghani K ., Tavana, M. (2014), *A new two-stage Stackelberg fuzzy data envelopment analysis model*, Measurement 53, 277-296

Kutucuoglu, K., Hamali, J., Irani, Z., & Sharp, J. (2001). *A framework for managing maintenance using performance measurement systems*. International Journal of Operations & Production Management, 21(1/2), 173-195.

Madu, C. N. (2005). *Strategic value of reliability and maintainability management*. International Journal of Quality & Reliability Management, 22(3), 317-328.

Markovits-Somogyi, R. (2011). *Measuring efficiency in transport: the state of the art of applying data envelopment analysis*. Transport, 26(1), 11-19.

Martín, J. C., & Román, C. (2001). *An application of DEA to measure the efficiency of Spanish airports prior to privatization*. Journal of Air Transport Management, 7(3), 149-157.

Marzouk, M., & Abdelaty, A. (2014). *BIM-based framework for managing performance of subway stations*. Automation in Construction, 41, 70-77.

Mather, D. (2005). *Maintenance Scorecard, The*: Industrial Press.

Narasimhan, R., Talluri, S., & Das, A. (2004). *Exploring flexibility and execution competencies of manufacturing firms*. Journal of Operations Management, 22(1), 91-106.

Ozbek, M. E., de la Garza, J. M., & Triantis, K. (2010). *Data and modeling issues faced during the efficiency measurement of road maintenance using data envelopment analysis*. Journal of Infrastructure Systems, 16(1), 21-30.

Ozbek, M. E., Jesús, M., & Triantis, K. (2010). *Efficiency measurement of bridge maintenance using data envelopment analysis*.

Journal of Infrastructure Systems.

Raje, D.V., Olaniya, R.S., Wakhare, P.D. & Deshpande, A.W. (2000). Availability assessment of a two-unit stand-by pumping system, Reliability Engineering and System Safety 68(3), 269–274.

Rouse, P., & Chiu, T. (2009). Towards optimal life cycle management in a road maintenance setting using DEA. European Journal of Operational Research, 196(2), 672-681.

Sampaio, B. R., Neto, O. L., & Sampaio, Y. (2008). Efficiency analysis of public transport systems: Lessons for institutional planning. Transportation Research Part A: Policy and Practice, 42(3), 445-454.

Scheraga, C. A. (2004). Operational efficiency versus financial mobility in the global airline industry: a data envelopment and Tobit analysis. Transportation Research Part A: Policy and Practice, 38(5), 383-404.

Seiford, L. M., & Zhu, J. (1999). Profitability and marketability of the top 55 US commercial banks. management science, 45(9), 1270-1288.

Sexton, T. R., & Lewis, H. F. (2003). Two-stage DEA: An application to major league baseball. Journal of Productivity Analysis, 19(2-3), 227-249.

Van den Bergh, J., De Bruecker, P., Beliën, J., De Boeck, L., & Demeulemeester, E. (2013). A three-stage approach for aircraft line maintenance personnel rostering using MIP, discrete event simulation and DEA. Expert Systems with Applications, 40(7), 2659-2668.

Wakchaure, S. S., & Jha, K. N. (2011). Prioritization of bridges for maintenance planning using data envelopment analysis. Construction Management and Economics, 29(9), 957-968.

Wang, W.-K., Lu, W.-M., & Liu, P.-Y. (2014). A fuzzy multi-objective two-stage DEA model for evaluating the performance of US bank holding companies. Expert Systems with Applications, 41(9), 4290-4297.

Yang, C., & Liu, H.-M. (2012). Managerial efficiency in Taiwan bank branches: A network DEA. Economic Modelling, 29(2), 450-461.

Zadeh, L. A. (1972). A fuzzy-set-theoretic interpretation of linguistic hedges.